

Замовник: **Управління освіти виконавчого комітету Покровської міської ради**

**«Нове будівництво захисної споруди цивільного захисту КЗДО №22
(ясла-садок) Покровської міської ради Дніпропетровської області»
за адресою: вул. Джонсона Бориса, 29, м. Покров, Нікопольський район,
Дніпропетровська область» (коригування)**

РОБОЧИЙ ПРОЄКТ

ТОМ 10

ЕНЕРГОЕФЕКТИВНІСТЬ

26 – 4433 – ЕЕ

Директор

Головний архітектор проекту

Головний інженер проекту

Микола БЕРЕЖНИЙ

Лариса ПАТАЛАХА

Юлія БУТОРІНА

(підпис)

м. Дніпро, 2026р

Затверджено:				
Взам. інв. №				
Підпис і дата				
Інв. № подл.				

Затверджено:

Взам. інв. №

Підпис і дата

Інв. № подл.

Зміст		
Позначення	Найменування	сторінки
	Обкладинка	
	Титульний аркуш	2
ЕЕ.3	Зміст	3
ЕЕ. ПЗ	Гарантійний запис	4
	1. Загальні дані	5
	2. Вихідні дані	6
	3. Визначення теплотехнічних показників огорожувальних конструкцій	11
	4. Оцінка вологісного режиму огорожувальних конструкцій	18
	5. Визначення показників теплостійкості	30
	6. Визначення енергетичних показників будівлі	38
	7. Визначення класу енергетичної ефективності будівлі	57
	8. Зведені характеристики будівлі	58
Додатки	Додаток 1	
	Протокол №112к/23 кваліфікаційних випробувань з визначення терміну ефективної експлуатації до 50 умовних років теплоізоляційних матеріалів з мінеральної вати марки «THERMOWOOL FAS OPTIMA 120» виробництва ТОВ «Завод теплоізоляційних матеріалів «ТЕХНО»», ДП НДІБК від 21 вересня 2023р	62
	Додаток 2	
	Протокол №11к/24 кваліфікаційних випробувань з визначення терміну ефективної експлуатації на 50 умовних років теплоізоляційних матеріалів з мінеральної вати марки «THERMOWOOL ROOF N EXTRA 100» виробництва ТОВ «Завод теплоізоляційних матеріалів «ТЕХНО»», ДП НДІБК від 15 лютого 2024р	64
	Додаток 3	
	Протокол №111к/23 кваліфікаційних випробувань з визначення терміну ефективної експлуатації на 50 умовних років теплоізоляційних матеріалів з мінеральної вати марки «THERMOWOOL ROOF V EXTRA 170» виробництва ТОВ «Завод теплоізоляційних матеріалів «ТЕХНО»», ДП НДІБК від 21 вересня 2023р	66
	Додаток 4	
	Кваліфікаційний сертифікат відповідального виконавця окремих видів робіт (послуг), пов'язаних зі створенням об'єктів архітектури	68

						26 – 4433 – ЕЕ.3			
Зм.	Кільк.	Лист	№ док.	Підпис	Дата	Зміст	Стадія	Лист	Листів
ГПП		Буторіна			04.26		РП	1	1
Розробив		Вовк			04.26		ТОВ «ГЕНПРОЕКТ»		
Перевірив		Черняєв			04.26				
Н. Контр.		Черняєв			04.26				

Розділ Енергоефективність розроблений у відповідності з нормами, правилами, державними стандартами та інструкціями з будівельного проєктування, що діють на території України.

Даний проєкт передбачає заходи в частині організації будівництва, що забезпечують дотримання екологічних, санітарно-гігієнічних норм, пожежну безпеку, а також безпечні умови праці працівників при виробництві будівельно-монтажних робіт.

Головний архітектор проєкту

Лариса ПАТАЛАХА

Головний інженер проєкту

Юлія БУТОРІНА

Головний спеціаліст

Ірина БОВК

Кваліфікаційний сертифікат: Серія АР 018270.

Дата видачі: 23.12.2021р.

Категорія – провідний інженер-проектувальник.

Інженерно-будівельне проєктування у частині забезпечення економії енергії щодо об'єктів будівництва класу наслідків (відповідальності) СС3 (значні наслідки).

Затверджено:

Взам. інв. №

Підпис і дата

Інв. № подл.

26 – 4433 – ЕЕ.ПЗ

Зм.	Кільк.	Лист	№ док.	Підпис	Дата	Пояснювальна записка		
ГП		Буторіна		<i>Б. Буторіна</i>	04.26	РП	1	62
Розробив		Вовк		<i>Ірина Вовк</i>	04.26	ТОВ «ГЕНПРОЕКТ»		
Перевірив		Черняєв		<i>Дмитро Черняєв</i>	04.26			
Н. Контр.		Черняєв		<i>Дмитро Черняєв</i>	04.26			

1. Загальні дані

Об'єкт – «Нове будівництво захисної споруди цивільного захисту КЗДО №22 (ясла-садок) Покровської міської ради Дніпропетровської області» за адресою: вул. Джонсона Бориса, 29, м. Покров, Нікопольський район, Дніпропетровська область» (коригування).

Замовник – Управління освіти виконавчого комітету Покровської міської ради.

Проектом передбачається нове будівництво захисної споруди цивільного захисту (протирадіаційне укриття (ПРУ)) місткістю 200 осіб, загальною площею 1270м².

Розділ «Енергетична ефективність» виконаний відповідно до вимог діючих нормативних документів, а саме:

- ДБН В.2.6-31:2021 «Теплова ізоляція та енергоефективність будівель»;
- ДСТУ Б А.2.2-8:2010 «Розділ Енергоефективність у складі проектної документації об'єктів»;
- ДСТУ 9191:2022 «Теплоізоляція будівель. Метод вибору теплоізоляційного матеріалу для утеплення будівель»;
- ДСТУ-Н Б В.2.6-101:2010 «Конструкції будинків і споруд. Метод визначення опору теплопередачі огорожувальних конструкцій»;
- ДСТУ-Н Б В.1.1-27:2010 «Захист від небезпечних геологічних процесів, шкідливих експлуатаційних впливів, від пожежі. Будівельна кліматологія»;
- ДСТУ-Н Б В.2.6-192:2013 «Настанова з розрахункової оцінки тепловологісного стану огорожувальних конструкцій»;
- ДСТУ-Н Б В.2.6-190:2013 «Настанова з розрахункової оцінки показників теплостійкості та теплозасвоєння огорожувальних конструкцій»;
- ДСТУ-Н Б В.2.6-191:2013 «Настанова з розрахункової оцінки повітропроникності огорожувальних конструкцій»;
- ДСТУ 9190:2022 «Енергетична ефективність будівель. Метод розрахунку енергоспоживання під час опалення, охолодження, вентиляції, освітлення та гарячого водопостачання»;
- ДСТУ-Н Б А.2.2-13:2015 «Енергетична ефективність будівель. Настанова з проведення енергетичної оцінки будівель»;
- ДСТУ Б EN ISO 13790:2011 «Енергетична ефективність будівель. Розрахунок енергоспоживання на опалення та охолодження (EN ISO 13790:2008, IDT)».

Інв. №ор.							26 – 4433 – ЕЕ.ПЗ	Лист
	Ізм.	Кіл.уч.	Лист	№док.	Підп.	Дата		
Підп. і дата								
Взам. інв. №								

2. Вихідні дані

Загальна характеристика будівлі

Споруда цивільного захисту підземна заглиблена від поверхні землі на 2,6м, одноповерхова, прямокутної форми в плані із загальними розмірами в плані 94,3х15,6м (12,1м), висотою поверху (від підлоги до стелі) 2,7м. Споруда виконується в монолітному каркасі, елементами жорсткості якої слугують стіни-діафрагми товщиною 300мм та 350мм.

Надбудови евакуаційних виходів монолітні залізобетонні.

Підлога бетонна з фарбуванням поверхні; в приміщеннях з призначенням для спортивних занять влаштовується додаткове спеціальне покриття; в приміщеннях санвузлів влаштовується керамічна плитка із застосуванням гідроізоляційних шарів. Основа підлоги – полістиролбетонна стяжка товщиною 220мм.

Надземні надбудови евакуаційних входів-виходів утеплюються по системі скріпленої теплоізоляції з оздобленням тонкошаровими штукатурками. Утеплення виконується мінераловатними плитами $\rho=120\text{кг/м}^3$ товщиною 200мм. Покрівля надбудов утеплюється мінераловатними плитами $\rho=100-170\text{кг/м}^3$ товщиною 300мм з подальшим влаштуванням похилоутворюючої стяжки та покриттям ПВХ мембраною.

Дверні блоки зовнішні – металеві.

Робочим проектом система опалення прийнята з електричним нагрівом, система припливно-витяжної вентиляції з механічним спонуканням.

Гаряче водопостачання передбачено від електричних водонагрівачів.

Схема розташування будинку та орієнтація по сторонах світу наведені на малюнку 1.

Умовна висота будівлі (за п.4.9 ДБН В.1.1-7:2016) – не визначається.

Взам. інв. №		Підп. і дата		Інв. №ор.								26 – 4433 – ЕЕ.ПЗ	Лист
						Ізм.	Кіл.уч.	Лист	№док.	Підп.	Дата		

Кількість градусо-днів опалювального періоду для I температурної зони – для м. Покров: $D_d = (t_g - t_{on.c}) \cdot z_{on} = (20 + 0,2) \cdot 172 = 3474$.

Згідно з ДБН В.2.6-31:2021 нормативне значення приведенного опору теплопередачі R_{qmin} , $m^2 \cdot K/Вт$, становить:

- зовнішні стіни – $4,0 m^2 \cdot K/Вт$;
- суміщене покриття – $7,0 m^2 \cdot K/Вт$;
- зовнішні двері – $0,7 m^2 \cdot K/Вт$.

Основні об'ємно-планувальні показники:

- опалювана площа будівлі $F_h = 1225,88 m^2$;
- опалюваний об'єм будівлі $V_h = 3731,26 m^3$;
- загальна площа зовнішніх огорожувальних конструкцій $A_\Sigma = 3237,4 m^2$.

Показник компактності будівлі Λ_B , m^{-1} , визначається за формулою (М.1) ДСТУ 9191:2022:

$$\Lambda_B = \frac{A_{i\Sigma}}{V} = \frac{3237,4}{3731,26} = 0,87 m^{-1}.$$

Взам. інв. №								
Підп. і дата								
Інв. №ор.							26 – 4433 – ЕЕ.ПЗ	Лист
		Ізм.	Кіл.уч.	Лист	Нодок.	Підп.		Дата

– $h_{se}=23\text{Вт}/(\text{м}\cdot\text{К})$ – коефіцієнт тепловіддачі зовнішньої поверхні огорожувальної конструкції.

$$R_{\Sigma} = \frac{1}{8,7} + \frac{0,35}{2,04} + \frac{0,01}{0,93} + \frac{0,2}{0,042} + \frac{0,005}{0,93} + \frac{0,003}{0,83} + \frac{1}{23} =$$

$$= 0,115 + 0,172 + 0,011 + 4,762 + 0,005 + 0,004 + 0,043 = 5,112\text{ м}^2\text{К} / \text{Вт}$$

Таблиця 3.1 Теплопровідні включення та їх кількість

Найменування теплопровідного включення	Протяжність, м	Кількість, шт	Лінійний коефіцієнт $\psi_m, \text{Вт}/(\text{м}\cdot\text{К})$	Точковий коефіцієнт $\chi_i, \text{Вт}/\text{К}$
Дюбелі для кріплення теплоізоляційного матеріалу з металевим стрижнем	–	5шт/м ²	–	0,005

Приведений опір теплопередачі зовнішніх стін (тип 1.1) визначається за формулою 1 ДСТУ 9191:2022:

$$R_{np} = \frac{8,25}{\frac{8,25}{5,112} + 5 \cdot 8,25 \cdot 0,005} =$$

$$= 4,533\text{ м}^2 \cdot \text{К} / \text{Вт} > 4,0\text{ м}^2 \cdot \text{К} / \text{Вт}.$$

Коефіцієнт однорідності зовнішніх стін (тип 1.1) визначається за формулою Ж.1 ДСТУ 9191:2022:

$$r = \frac{R_{\Sigma np}}{R_{\Sigma}} =$$

$$r = \frac{4,533}{5,112} = 0,887$$

Тип 1.2:

- основа – залізобетон, $\rho=2500\text{кг}/\text{м}^3$, $\delta=350\text{мм}$, $\lambda=2,04\text{Вт}/(\text{м}\cdot\text{К})$;
- клейова суміш на цементній основі CERESIT, $\rho=1800\text{кг}/\text{м}^3$, $\delta=10\text{мм}$, $\lambda=0,93\text{Вт}/(\text{м}\cdot\text{К})$;
- утеплювач – плити мінераловатні SWEETONDALE THERMOWOOL FAS OPTIMA 120, $\rho=120\text{кг}/\text{м}^3$, $\delta=200\text{мм}$;
- захисна штукатурка на цементній основі CERESIT, $\rho=1800\text{кг}/\text{м}^3$, $\delta=5\text{мм}$, $\lambda=0,93\text{Вт}/(\text{м}\cdot\text{К})$;
- декоративна штукатурка, $\rho=1600\text{кг}/\text{м}^3$, $\delta=3\text{мм}$, $\lambda=0,83\text{Вт}/(\text{м}\cdot\text{К})$.

Для розрахунку приймається типова ділянка стіни фасаду Д-В. Розміри ділянки, що розглядається – $5,7 \times 2,5 = 14,25\text{ м}^2$, розміри дверних отворів на даній ділянці – $5,04\text{ м}^2$, площа непрозорої огорожувальної конструкції з укосами – $12,51\text{ м}^2$, площа непрозорої огорожувальної конструкції без укосів – $9,21\text{ м}^2$.

Взам. інв. №	
Підп. і дата	
Інв. № ор.	

Ізм.	Кіл.уч.	Лист	Нодок.	Підп.	Дата

Розрахункові теплофізичні характеристики виробів теплоізоляційних з мінеральної вати SWEETONDALE THERMOWOOL FAS OPTIMA 120 прийнято за Протоколом №112к/23 кваліфікаційних випробувань з визначення терміну ефективної експлуатації до 50 умовних років теплоізоляційних матеріалів з мінеральної вати марки «THERMOWOOL FAS OPTIMA 120» виробництва ТОВ «Завод теплоізоляційних матеріалів «ТЕХНО»», див. додаток 1.

Приведений опір теплопередачі зовнішніх стін визначається за формулою 1 ДСТУ 9191:2022:

$$R_{\Sigma np} = \frac{A_{\Sigma}}{\Sigma_i (A_i / R_{\Sigma i}) + \Sigma_m (l_m \cdot \psi_m) + \Sigma_j (N_j \cdot \chi_j)}$$

Опір теплопередачі R_{Σ} термічно однорідної огорожувальної конструкції, визначається за формулою 2 ДСТУ 9191:2022:

$$R_{\Sigma} = \frac{1}{h_{si}} + \sum_{i=1}^l R_i + \frac{1}{h_{se}} = \frac{1}{h_{si}} + \sum_{i=1}^l \frac{d_i}{\lambda_{ip}} + \frac{1}{h_{se}}$$

– $h_{si}=8,7\text{Вт}/(\text{м}\cdot\text{К})$ – коефіцієнт тепловіддачі внутрішньої поверхні огорожувальної конструкції;

– $h_{se}=23\text{Вт}/(\text{м}\cdot\text{К})$ – коефіцієнт тепловіддачі зовнішньої поверхні огорожувальної конструкції.

$$R_{\Sigma} = \frac{1}{8,7} + \frac{0,35}{2,04} + \frac{0,01}{0,93} + \frac{0,2}{0,042} + \frac{0,005}{0,93} + \frac{0,003}{0,83} + \frac{1}{23} =$$

$$= 0,115 + 0,172 + 0,011 + 4,762 + 0,005 + 0,004 + 0,043 = 5,112 \text{ м}^2 \text{ К} / \text{Вт}$$

Таблиця 3.2 Теплопровідні включення та їх кількість

Найменування теплопровідного включення	Протяжність, м	Кількість, шт	Лінійний коефіцієнт $\psi_m, \text{Вт}/(\text{м}\cdot\text{К})$	Точковий коефіцієнт $\chi_i, \text{Вт}/\text{К}$
Дверний відкос в зоні перемички	2,4	–	0,08	–
Дверний відкос в зоні рядового примикання	8,4	–	0,075	–
Дюбелі для кріплення теплоізоляційного матеріалу з металевим стрижнем	–	5шт/м ²	–	0,005

Приведений опір теплопередачі зовнішніх стін (тип 1.2) визначається за формулою 1 ДСТУ 9191:2022:

$$R_{np} = \frac{12,51}{\frac{9,21}{5,112} + 2,4 \cdot 0,08 + 8,4 \cdot 0,075 + 5 \cdot 9,21 \cdot 0,005} =$$

$$= 4,383 \text{ м}^2 \cdot \text{К} / \text{Вт} > 4,0 \text{ м}^2 \cdot \text{К} / \text{Вт}.$$

Взам. інв. №	
Підп. і дата	
Інв. № ор.	

Ізм.	Кіл.уч.	Лист	Нодок.	Підп.	Дата

Коефіцієнт однорідності зовнішніх стін (тип 1.2) визначається за формулою Ж.1 ДСТУ 9191:2022:

$$r = \frac{R_{\Sigma np}}{R_{\Sigma}}$$
$$r = \frac{4,383}{5,112} = 0,857$$

Приведений опір теплопередачі всієї площі зовнішніх стін визначається за формулою 1 ДСТУ 9191:2022 та складає:

$$R_{\Sigma np} = 4,494 \text{ м}^2 \cdot \text{К/Вт}.$$

Суміщене покриття

Тип 1:

- залізобетон, $\rho=2500 \text{ кг/м}^3$, $\delta=300 \text{ мм}$, $\lambda=2,04 \text{ Вт/(м} \cdot \text{К)}$;
- пароізоляція HYDROBASE ULTRA, $\rho=1000 \text{ кг/м}^3$, $\delta=3 \text{ мм}$, $\lambda=0,17 \text{ Вт/(м} \cdot \text{К)}$;
- цементно-піщана стяжка $\rho=1600 \text{ кг/м}^3$, $\delta=50\text{-}150 \text{ мм}$, $\lambda=0,83 \text{ Вт/(м} \cdot \text{К)}$;
- утеплювач – плити мінераловатні SWEETONDALE THERMOWOOL ROOF N EXTRA 100, $\rho=100 \text{ кг/м}^3$, $\delta=200 \text{ мм}$;
- утеплювач – плити мінераловатні SWEETONDALE THERMOWOOL ROOF V EXTRA 170, $\rho=170 \text{ кг/м}^3$, $\delta=100 \text{ мм}$;
- ПВХ мембрана SOPREMA FLAGON SR, $\rho=1000 \text{ кг/м}^3$, $\delta=1,8 \text{ мм}$, $\lambda=0,23 \text{ Вт/(м} \cdot \text{К)}$.

Для розрахунку приймаємо типову ділянку покрівлі в осях 1-2/А-В. Розміри ділянки – $23,44 \text{ м}^2$, загальна площа непрозорої огорожувальної конструкції – $23,44 \text{ м}^2$.

Розрахункові теплофізичні характеристики виробів теплоізоляційних з мінеральної вати SWEETONDALE THERMOWOOL ROOF N EXTRA 100 прийнято за Протоколом №11к/24 кваліфікаційних випробувань з визначення терміну ефективної експлуатації на 50 умовних років теплоізоляційних матеріалів з мінеральної вати марки «THERMOWOOL ROOF N EXTRA 100» виробництва ТОВ «Завод теплоізоляційних матеріалів «ТЕХНО», ДП НДІБК від 15 лютого 2024р.

Розрахункові теплофізичні характеристики виробів теплоізоляційних з мінеральної вати SWEETONDALE THERMOWOOL ROOF V EXTRA 170 прийнято за Протоколом №11к/23 кваліфікаційних випробувань з визначення терміну ефективної експлуатації на 50 умовних років теплоізоляційних матеріалів з мінеральної вати марки «THERMOWOOL ROOF V EXTRA 170» виробництва ТОВ «Завод теплоізоляційних матеріалів «ТЕХНО», ДП НДІБК від 21 вересня 2023р.

Інв. №ор.	Підп. І дата	Взам. інв. №							26 – 4433 – ЕЕ.ПЗ	Лист
			Ізм.	Кіл.уч.	Лист	Їодок.	Підп.	Дата		

Приведений опір теплопередачі суміщеного покриття визначається за формулою 1 ДСТУ 9191:2022:

$$R_{\Sigma np} = \frac{A_{\Sigma}}{\Sigma_i (A_i / R_{\Sigma i}) + \Sigma_m (l_m \cdot \psi_m) + \Sigma_j (N_j \cdot \chi_j)}$$

Опір теплопередачі R_{Σ} термічно однорідної огорожувальної конструкції, визначається за формулою 2 ДСТУ 9191:2022:

$$R_{\Sigma} = \frac{1}{h_{si}} + \sum_{i=1}^l R_i + \frac{1}{h_{se}} = \frac{1}{h_{si}} + \sum_{i=1}^l \frac{d_i}{\lambda_{ip}} + \frac{1}{h_{se}}$$

– $h_{si}=10\text{Вт}/(\text{м}\cdot\text{К})$ – коефіцієнт тепловіддачі внутрішньої поверхні огорожувальної конструкції;

– $h_{se}=23\text{Вт}/(\text{м}\cdot\text{К})$ – коефіцієнт тепловіддачі зовнішньої поверхні огорожувальної конструкції.

$$R_{\Sigma} = \frac{1}{10} + \frac{0,3}{2,04} + \frac{0,003}{0,17} + \frac{0,05}{0,83} + \frac{0,2}{0,041} + \frac{0,1}{0,045} + \frac{0,0018}{0,23} + \frac{1}{23} =$$

$$= 0,1 + 0,147 + 0,018 + 0,06 + 4,878 + 2,222 + 0,008 + 0,043 = 7,476 \text{ м}^2 \text{ К} / \text{Вт}$$

Таблиця 3.3 Теплопровідні включення та їх кількість

Найменування теплопровідного включення	Протяжність, м	Кількість, шт	Лінійний коефіцієнт $\psi_m, \text{Вт}/(\text{м}\cdot\text{К})$	Точковий коефіцієнт $\chi_j, \text{Вт}/\text{К}$
Кріплення ПВХ мембрани до покрівлі (по контуру)	–	42	–	0,005

Приведений опір теплопередачі суміщеного покриття (тип 1) визначається за формулою 1 ДСТУ 9191:2022:

$$R_{np} = \frac{23,44}{\frac{23,44}{7,476} + 42 \cdot 0,005} =$$

$$= 7,007 \text{ м}^2 \cdot \text{К} / \text{Вт} > 4,0 \text{ м}^2 \cdot \text{К} / \text{Вт}.$$

Коефіцієнт однорідності суміщеного покриття (тип 1) визначається за формулою Ж.1 ДСТУ 9191:2022:

$$r = \frac{R_{\Sigma np}}{R_{\Sigma}}$$

$$r = \frac{7,007}{7,476} = 0,937$$

Взам. інв. №							$r = \frac{R_{\Sigma np}}{R_{\Sigma}}$ $r = \frac{7,007}{7,476} = 0,937$	
Підп. і дата								
Інв. № ор.								
							26 – 4433 – ЕЕ.ПЗ	Лист
		Ізм.	Кіл.уч.	Лист	№док.	Підп.		Дата

Приведена температура внутрішньої поверхні стіни:

$$\theta_{si,np,H} = \theta_{si,H,i} = 18,93^{\circ}\text{C}$$

Приведена температура внутрішньої поверхні суміщеного покриття:

$$\theta_{si,np,H} = \theta_{si,H,i} = 19,4^{\circ}\text{C}$$

Температура точки роси при $\theta_{\text{int}}=20^{\circ}\text{C}$ та $\varphi_{\text{int}}=50\%$, визначається за даними таблиці Б.1 Додатка Б ДСТУ-Н Б В.2.6-192:2013 та значення парціального тиску водяної пари e , що розраховується по формулі (6):

$$e_g = 0,01 \cdot \varphi_g \cdot E_g = 0,01 \cdot 50 \cdot 2340 = 1170 \text{ Па}$$

Висновок: визначеному значенню відповідає температура точки роси $t_p = 9,3^{\circ}\text{C} = \theta_{si,\min}$, що менше приведеної температури внутрішньої поверхні зовнішньої стіни $\theta_{si,np,H} = 18,93^{\circ}\text{C}$ та суміщеного покриття $\theta_{si,np,H} = 19,4^{\circ}\text{C}$, а отже умова $\theta_{si,np,H} \geq \theta_{si,\min}$ виконується.

Перевірочний розрахунок виконання умови $\Delta\theta_{\text{int-si}} \leq \Delta\theta_{\text{int-si,max}}$ (5) для зовнішньої стіни

Температурний перепад $\Delta\theta_{\text{int-si}}$:

$$\Delta\theta_{\text{int-si}} = \theta_{\text{int}} - \theta_{\text{int,np}} = 20 - 18,93 = 1,07^{\circ}\text{C}$$

Оскільки $\Delta\theta_{\text{int-si}}=1,07^{\circ}\text{C} \leq \Delta\theta_{\text{int-si,max}}=4^{\circ}\text{C}$ – умова виконується, конструкція є задовільною.

Перевірочний розрахунок виконання умови $\Delta\theta_{\text{int-si}} \leq \Delta\theta_{\text{int-si,max}}$ (5) для суміщеного покриття

Температурний перепад $\Delta\theta_{\text{int-si}}$:

$$\Delta\theta_{\text{int-si}} = \theta_{\text{int}} - \theta_{\text{int,np}} = 20 - 19,4 = 0,6^{\circ}\text{C}$$

Оскільки $\Delta\theta_{\text{int-si}}=0,6^{\circ}\text{C} \leq \Delta\theta_{\text{int-si,max}}=3^{\circ}\text{C}$ – умова виконується, конструкція є задовільною.

Взам. інв. №		задовільною.					умова виконувалася, конструкція є					
Підп. і дата												
Інв. № ор.												
							26 – 4433 – ЕЕ.ПЗ					Лист
Ізм.	Кіл.уч.	Лист	№док.	Підп.	Дата							

4. Оцінка вологісного режиму огорожувальних конструкцій

Оцінка вологісного режиму конструкцій здійснена згідно з вимогами ДСТУ-Н Б В.2.6-192.

Об'єкт – зовнішня стіна із залізобетону (тип 1) будівлі з нормальним режимом експлуатації приміщень в м. Покров.

Теплофізичні дані для розрахунку кожного шару конструкції наведені в таблиці 4.1.

Таблиця 4.1 Розрахункові характеристики матеріалів в складі огорожувальної конструкції

Шар	Товщина шару δ , м	Густина ρ , кг/м ³	Тепло-провідність λ , Вт/(м·К)	Тепловий опір R, (м ² ·К)/Вт	Коефіцієнт паропроникності μ , мг/(м·год·Па)	Опір паропроникності Re, (м ² ·год·Па)/мг
Залізобетон	0,35	2500	2,04	0,172	0,03	11,667
Клейова суміш на цементній основі CERESIT	0,01	1800	0,93	0,011	0,09	0,111
Утеплювач SWEETONDALE THERMOWOOL FAS OPTIMA 120	0,2	120	0,042	4,762	0,43	0,465
Захисна штукатурка на цементній основі CERESIT	0,005	1800	0,93	0,005	0,09	0,056
Штукатурка декоративна CERESIT	0,003	1600	0,83	0,004	0,08	0,038

Порядок розрахунку

Згідно з ДСТУ-Н Б В.1.1-27 визначаємо середньомісячні значення температур і відносну вологість зовнішнього повітря.

Таблиця 4.2 Середньомісячні значення температур і відносна вологість зовнішнього повітря для м. Покров

Місяць	I	II	III	IV	V	VI	VII	VIII	IX	X	XI	XII
Температура, °С	-4,7	-3,8	1,1	9,6	16	19,6	21,6	20,7	15,4	8,6	2,2	-2,5
Відносна вологість, %	86	84	81	68	62	65	64	62	68	76	87	89

Визначаємо температуру та відносну вологість повітря приміщення. Для даної будівлі, згідно з ДБН В.2.6-31 вони складають відповідно: $\theta_{\text{int}}=20^{\circ}\text{C}$; $\varphi_{\text{int}}=50\%$.

Згідно з таблицею Б.1, додаток Б визначаємо парціальний тиск насиченої водяної пари E, по формулам (6), (7) – парціальні тиски водяної пари дорівню-

Взам. інв. №	
Підп. і дата	
Інв. №ор.	

Ізм.	Кіл.уч.	Лист	Нодок.	Підп.	Дата

ють:

- для внутрішнього повітря: $E_v = 2340 \text{ Па}$, $e_v = 1170 \text{ Па}$;
- для зовнішнього повітря в грудні: $E_n = 496 \text{ Па}$, $e_n = 441 \text{ Па}$;
- для зовнішнього повітря в січні: $E_n = 412 \text{ Па}$, $e_n = 354 \text{ Па}$;
- для зовнішнього повітря в лютому: $E_n = 444 \text{ Па}$, $e_n = 373 \text{ Па}$.

Парціальний тиск водяної пари на перетині шарів матеріалів огорожувальної конструкції, Па; температура на перетині шарів матеріалів огорожувальної конструкції, $^{\circ}\text{C}$, що визначена за формулою (5); парціальний тиск насиченої водяної пари E , Па, на перетині шарів матеріалів огорожувальної конструкції, визначений за таблицею Б.1, додаток Б:

	Грудень	Січень	Лютий		Грудень	Січень	Лютий		Грудень	Січень	Лютий
e0	1170	1170	1170	t0	19,5	19,4	19,5	E0	2268	2254	2268
e1	481	399	416	t1	18,7	18,6	18,7	E1	2158	2145	2158
e2	474	391	409	t2	18,7	18,6	18,6	E2	2158	2145	2145
e3	447	360	379	t3	-2,3	-4,4	-3,6	E3	505	423	452
e4	444	357	375	t4	-2,3	-4,5	-3,6	E4	505	419	452
e5	441	354	373	t5	-2,3	-4,5	-3,6	E5	505	419	452

Розподіл температур в зовнішній стіні наведено на рисунках 4.1; 4.2; 4.3.

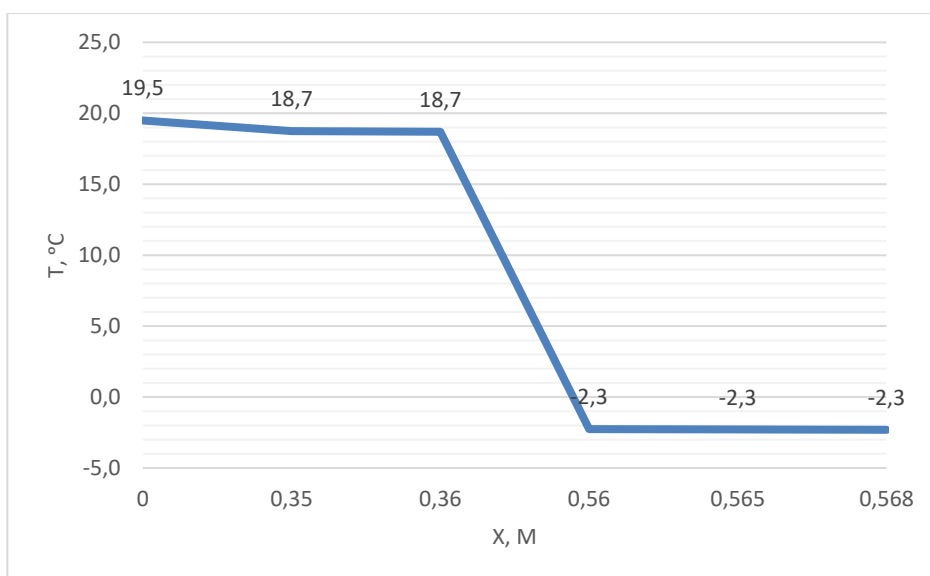


Рисунок 4.1 Розподіл температур у зовнішній стіні (тип 1) в грудні

Взам. інв. №	
Підп. і дата	
Інв. №ор.	

Ізм.	Кіл.уч.	Лист	Модок.	Підп.	Дата

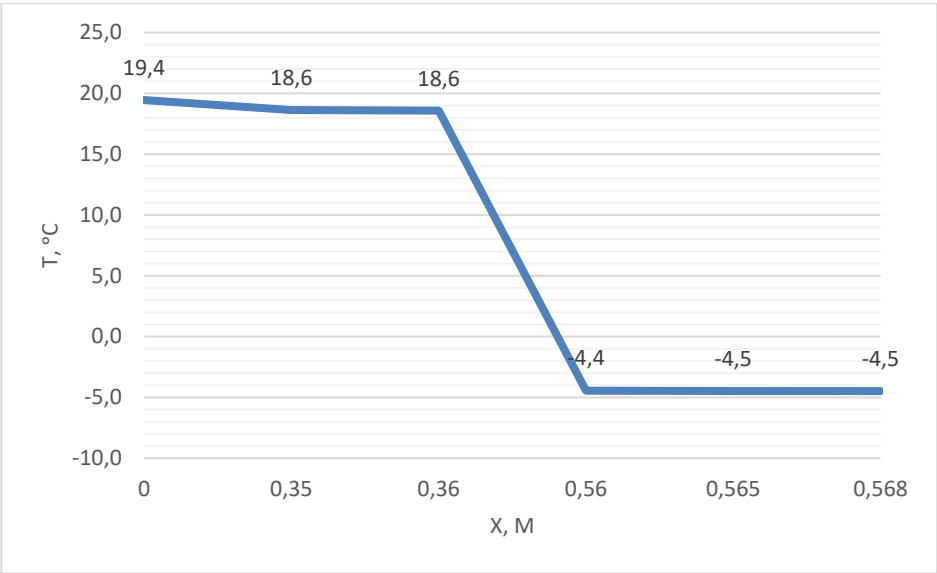


Рисунок 4.2 Розподіл температур у зовнішній стіні (тип 1) в січні

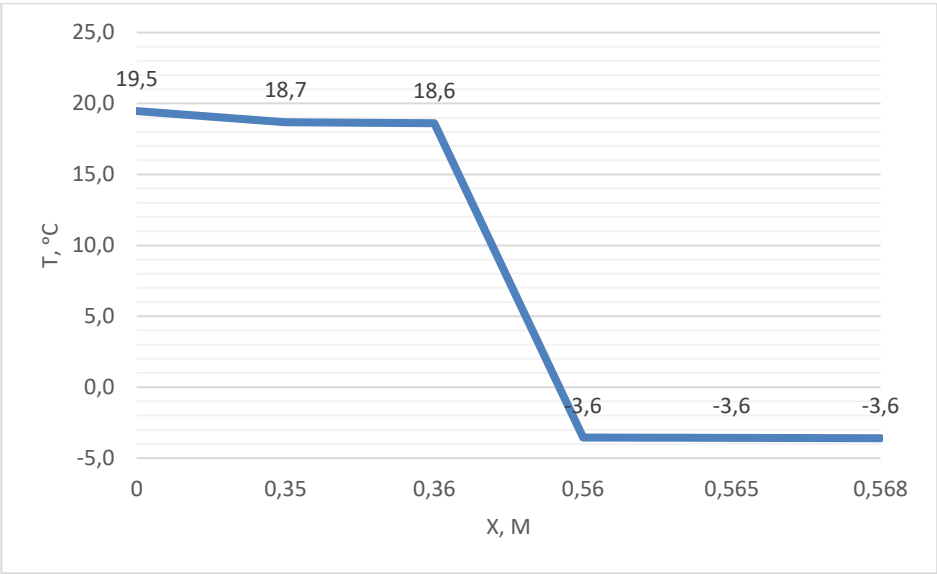


Рисунок 4.3 Розподіл температур у зовнішній стіні (тип 1) в лютому

В масштабі опорів паропроникненню R_e будується залежність парціального тиску насиченої водяної пари E та парціального тиску водяної пари e (рисунок 4.4; 4.5; 4.6).

Інв. № ор.							26 – 4433 – ЕЕ.ПЗ	Лист
	Ізм.	Кіл.уч.	Лист	№ док.	Підп.	Дата		
Взам. інв. №								
Підп. І дата								

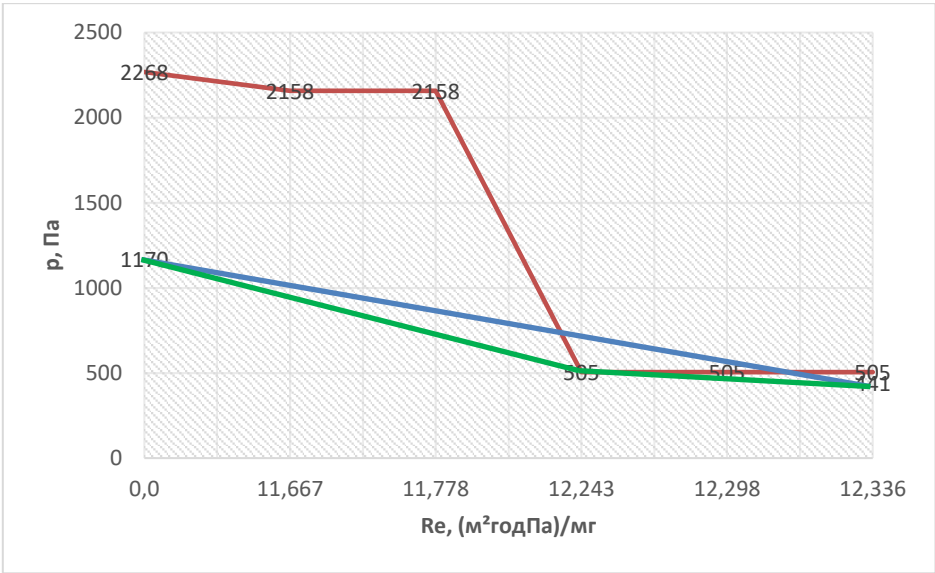


Рисунок 4.4 Розподіл парціальних тисків у зовнішній стіні (тип 1) в грудні

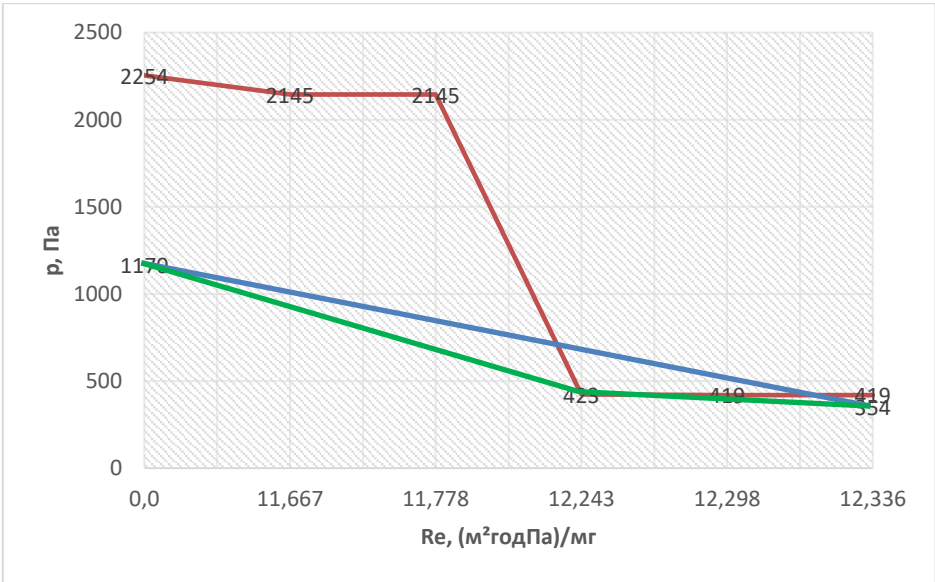


Рисунок 4.5 Розподіл парціальних тисків у зовнішній стіні (тип 1) в січні

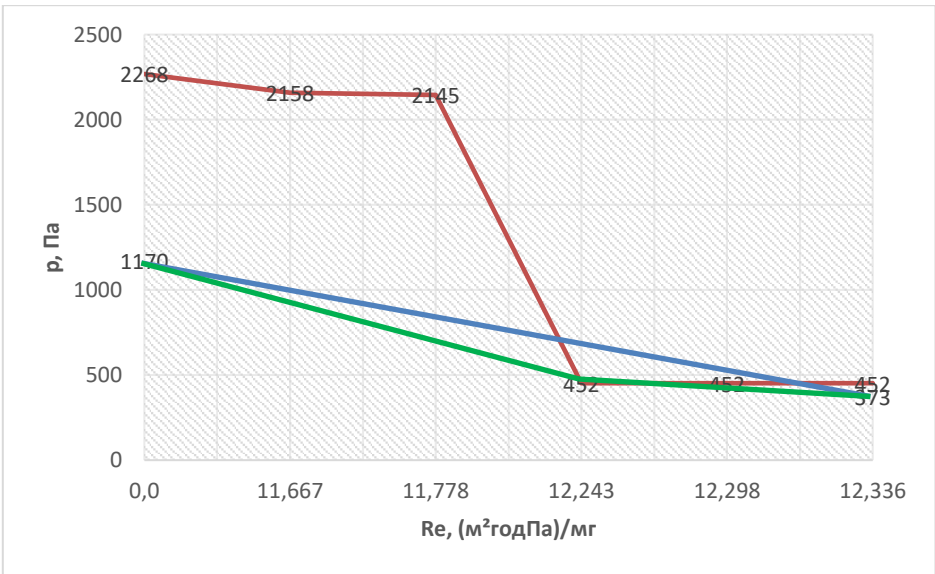


Рисунок 4.6 Розподіл парціальних тисків у зовнішній стіні (тип 1) в лютому

Інв. №ор.	Підп. І дата	Взам. інв. №

Ізм.	Кіл.уч.	Лист	Модок.	Підп.	Дата

Оскільки лінії E та e перетинаються, що свідчить про конденсацію вологи в товщі огорожувальної конструкції, будується лінія розрахункового тиску водяної пари e_p . Дана лінія будується з точок на поверхнях конструкції, що відповідають значенням парціального тиску внутрішнього та зовнішнього повітря до лінії розподілу насиченої водяної пари E ($— E, — e, — e_p$).

За розподілом парціальних тисків (рисунки 4.4, 4.5 та 4.6) встановлено, що конденсація відбувається на межах утеплювача та захисної штукатурки.

Розрахунок для грудня

Кількість водяної пари, що надходить до зони конденсації зі сторони при-
міщення:

$$i_{\epsilon} = \frac{1170-505}{11.667+0.111+0.465} = 54,317 \text{ m}^2 / \text{m}^2 \cdot \text{год}.$$

Кількість водяної пари, що виводиться назовні із зони конденсації:

$$i_3 = \frac{505-441}{0.056+0.038} = 680,851 m_2 / m^2 \cdot 200d.$$

Кількість вологи, що випаровується з конструкції за грудень:

$$W_{en} = 744 \cdot (680,851 - 54,317) \cdot 10^{-6} = 0,466 \text{ kJ} / \text{m}^2.$$

Розрахунок для січня

Кількість водяної пари, що надходить до зони конденсації зі сторони при-
міщення:

$$i_g = \frac{1170-423}{11.667+0.111+0.465} = 61,014_{\mathcal{M}\mathcal{Z}} / \mathcal{M}^2 \cdot 200d.$$

Кількість водяної пари, що виводиться назовні із зони конденсації:

$$i_3 = \frac{423-354}{0,056+0,038} = 734,043 \text{ мг / м}^2 \cdot \text{год}.$$

Кількість вологи, що випаровується з конструкції за січень:

$$W_{en} = 744 \cdot (734,043 - 61,014) \cdot 10^{-6} = 0,501 \text{ k}\mathcal{Z} / \text{m}^2.$$

Розрахунок для лютого

Кількість водяної пари, що надходить до зони конденсації зі сторони при-
міщення:

Взам. інв. №	Кількість вологи, що випаровується з конструкції за січень:							
	$W_{вп} = 744 \cdot (734,043 - 61,014) \cdot 10^{-6} = 0,501_{кг} / м^2.$							
Підп. І дата	Розрахунок для лютого							
	Кількість водяної пари, що надходить до зони конденсації зі сторони при- міщення:							
Інв. № оп.							26 – 4433 – ЕЕ.ПЗ	Лист
	Ізм.	Кіл.уч.	Лист	№ док.	Підп.	Дата		

$$i_6 = \frac{1170 - 452}{11,667 + 0,111 + 0,465} = 58,646 \text{ мг} / \text{м}^2 \cdot \text{год}.$$

Кількість водяної пари, що виводиться назовні із зони конденсації:

$$i_3 = \frac{452 - 373}{0,056 + 0,038} = 840,426 \text{ мг} / \text{м}^2 \cdot \text{год}.$$

Кількість вологи, що випаровується з конструкції за лютий:

$$W_{\text{вп}} = 672 \cdot (840,426 - 58,646) \cdot 10^{-6} = 0,525 \text{ кг} / \text{м}^2.$$

Таблиця 4.3 Річний баланс вологи в товщі огорожувальної конструкції будівлі

Місяць року	Кількість вологи, що сконденсувалась в огорожувальній конструкції, кг/м ²	Кількість вологи, що випарилась із зони конденсації, кг/м ²
Грудень	0	0,466
Січень	0	0,501
Лютий	0	0,525
Σ	0	1,492

Проведеним розрахунком встановлено, що в зовнішній стіні (тип 1) процес конденсації водяної в період вологонакопичення (грудень, січень, лютий) не відбувається. В інші місяці року також відбувається процес випаровування вологи.

Таким чином, згідно з ДБН В.2.6-31 та ДСТУ-Н Б В.2.6-192 збільшення вологості в зовнішній стіні (тип 1) в холодний період року являється допустимим.

Об'єкт – суміщене покриття (тип 1) будівлі з нормальним режимом експлуатації приміщень в м. Покров.

Теплофізичні дані для розрахунку кожного шару конструкції наведені в таблиці 4.4.

Таблиця 4.4 Розрахункові характеристики матеріалів в складі огорожувальної конструкції

Шар	Товщина шару δ, м	Густина ρ, кг/м ³	Тепло-провідність λ, Вт/(м·К)	Тепловий опір R, (м ² ·К)/Вт	Коефіцієнт паропроникності μ, мг/(м·год·Па)	Опір паропроникності Re, (м ² ·год·Па)/мг
Залізобетон	0,3	2500	2,04	0,147	0,03	10
Пароізоляція HYDROBASE ULTRA	0,003	1000	0,17	0,018	0,008	0,375
Стяжка цементно-піщана	0,05-0,15	1600	0,83	0,06	0,08	0,625
Утеплювач SWEETONDALE THERMOWOOL ROOF N EXTRA	0,2	100	0,041	4,878	0,47	0,426

Взам. інв. №	
Підп. і дата	
Інв. № ор.	

						26 – 4433 – ЕЕ.ПЗ	Лист
Ізм.	Кіл.уч.	Лист	Нодок.	Підп.	Дата		

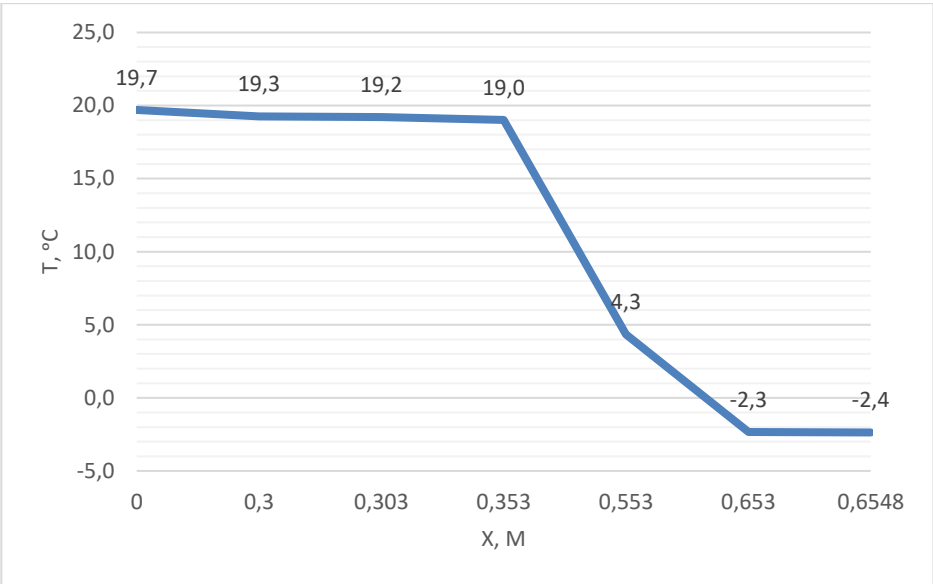


Рисунок 4.7 Розподіл температур у суміщеному покритті (тип 1) в грудні

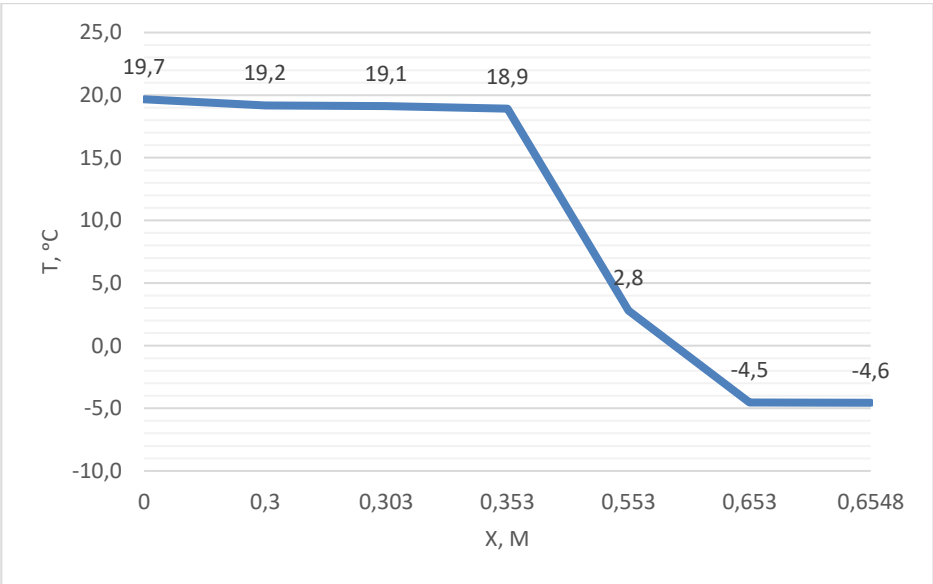


Рисунок 4.8 Розподіл температур у суміщеному покритті (тип 1) в січні

Інв. №ор.	Підп. І дата					Взам. інв. №				
Ізм.	Кіл.уч.	Лист	Модок.	Підп.	Дата	26 – 4433 – ЕЕ.ПЗ				
						Лист				

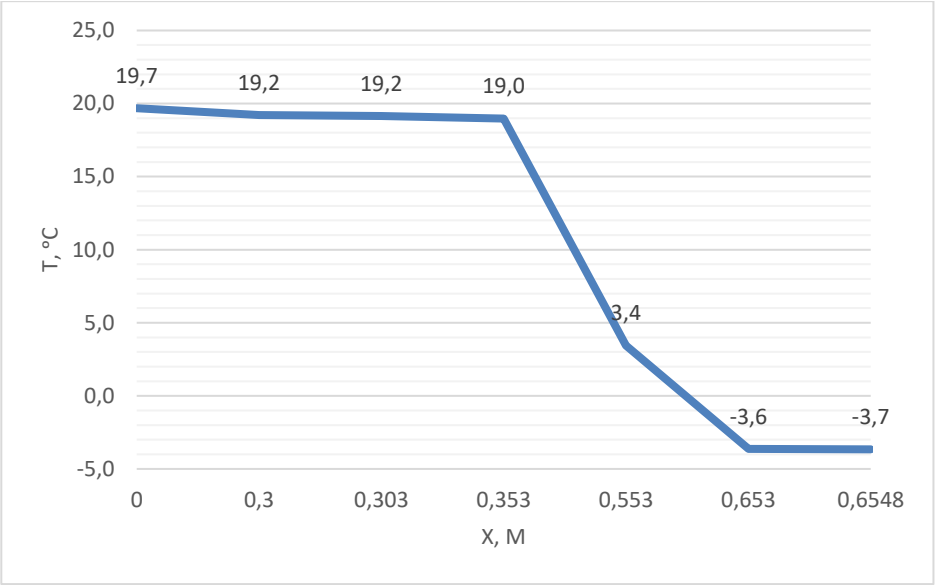


Рисунок 4.9 Розподіл температур у суміщеному покритті (тип 1) в лютому

В масштабі опорів паропроникненню R_e будується залежність парціального тиску насиченої водяної пари E та парціального тиску водяної пари e (рисунок 4.10; 4.11; 4.12).

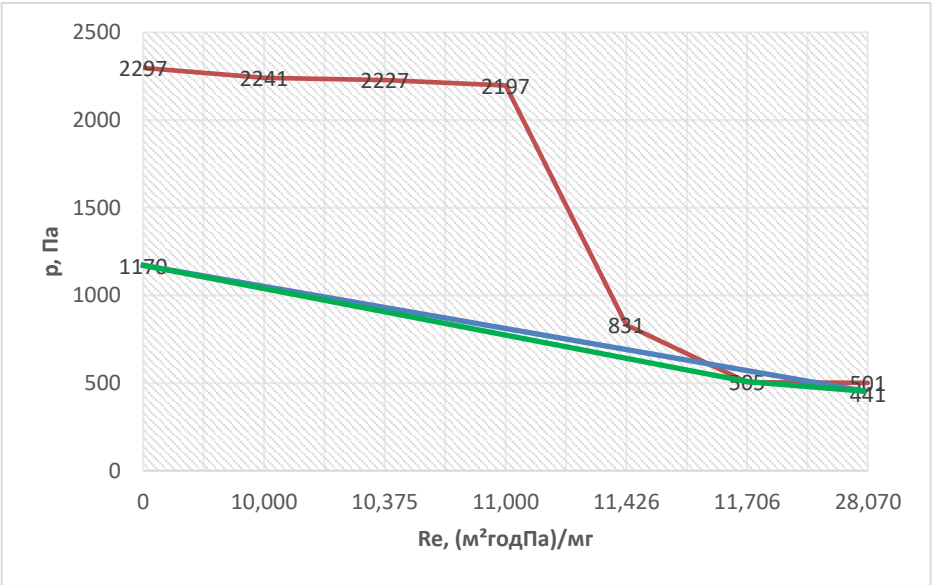


Рисунок 4.10 Розподіл парціальних тисків у суміщеному покритті (тип 1) в грудні

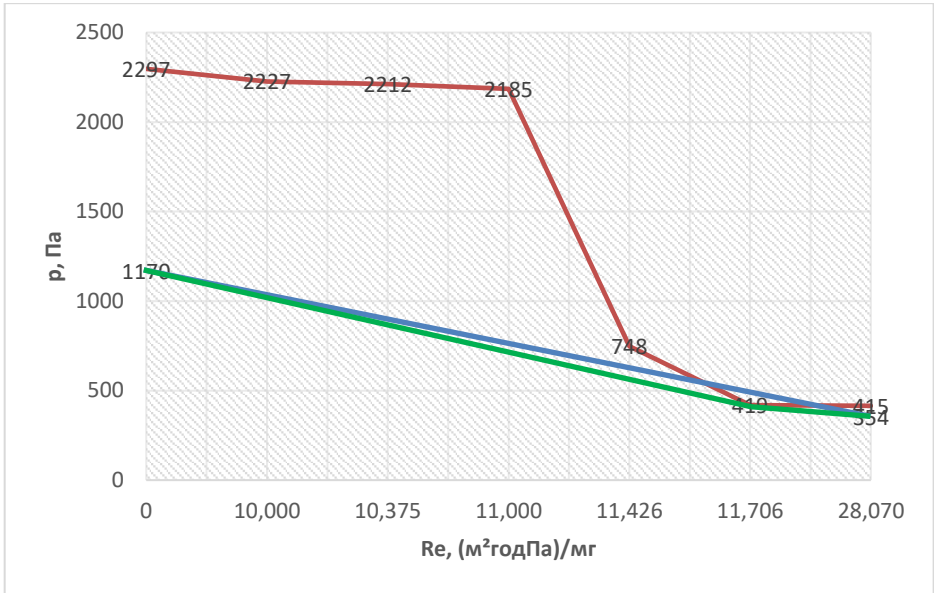


Рисунок 4.11 Розподіл парціальних тисків у суміщеному покритті (тип 1) в січні

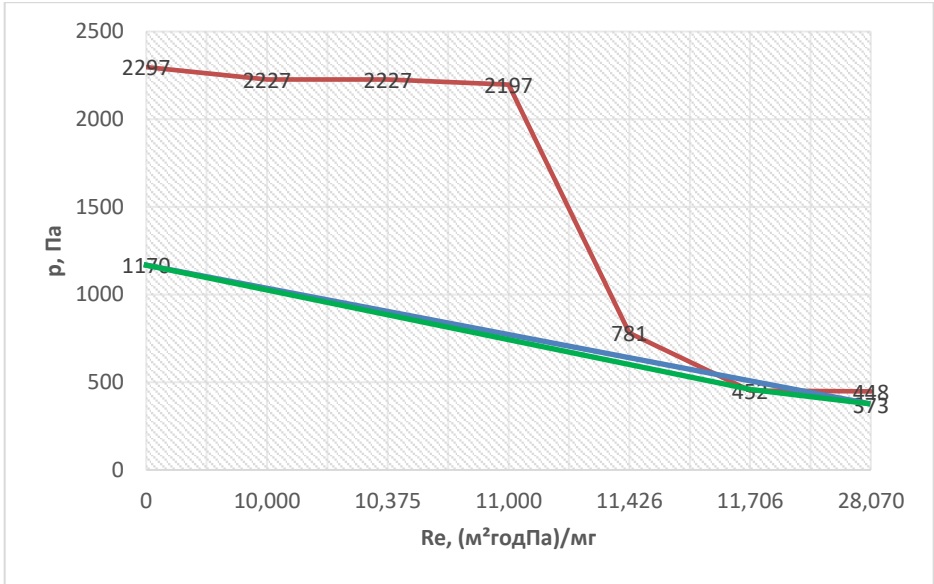


Рисунок 4.12 Розподіл парціальних тисків у суміщеному покритті (тип 1) в лютому

Оскільки лінії E та e перетинаються, що свідчить про конденсацію вологи в товщі огорожувальної конструкції, будується лінія розрахункового тиску водяної пари e_p . Дана лінія будується з точок на поверхнях конструкції, що відповідають значенням парціального тиску внутрішнього та зовнішнього повітря до лінії розподілу насиченої водяної пари E ($— E, — e, — e_p$).

За розподілом парціальних тисків (рисунки 4.4, 4.5 та 4.6) встановлено, що конденсація відбувається на межах утеплювача та захисної штукатурки.

Розрахунок для грудня

Кількість водяної пари, що надходить до зони конденсації зі сторони приміщення:

Взам. інв. №		За розподілом парціальних тисків (рисунки 4.4, 4.5 та 4.6) встановлено, що конденсація відбувається на межах утеплювача та захисної штукатурки.										
Підп. і дата		<i>Розрахунок для грудня</i> Кількість водяної пари, що надходить до зони конденсації зі сторони приміщення:										
Інв. №ор.							26 – 4433 – ЕЕ.ПЗ				Лист	
	Ізм.	Кіл.уч.	Лист	№док.	Підп.	Дата						

$$i_6 = \frac{1170 - 505}{10 + 0,375 + 0,625 + 0,426 + 0,281} = 56,804 \text{ мг} / \text{м}^2 \cdot \text{год}.$$

Кількість водяної пари, що виводиться назовні із зони конденсації:

$$i_3 = \frac{505 - 441}{16,364} = 3,911 \text{ мг} / \text{м}^2 \cdot \text{год}.$$

Кількість вологи, що конденсується в конструкції за грудень:

$$W_3 = 744 \cdot (56,804 - 3,911) \cdot 10^{-6} = 0,039 \text{ кг} / \text{м}^2.$$

Розрахунок для січня

Кількість водяної пари, що надходить до зони конденсації зі сторони приміщення:

$$i_6 = \frac{1170 - 419}{10 + 0,375 + 0,625 + 0,426 + 0,281} = 64,15 \text{ мг} / \text{м}^2 \cdot \text{год}.$$

Кількість водяної пари, що виводиться назовні із зони конденсації:

$$i_3 = \frac{419 - 354}{16,364} = 3,972 \text{ мг} / \text{м}^2 \cdot \text{год}.$$

Кількість вологи, що конденсується в конструкції за січень:

$$W_3 = 744 \cdot (64,15 - 3,972) \cdot 10^{-6} = 0,045 \text{ кг} / \text{м}^2.$$

Розрахунок для лютого

Кількість водяної пари, що надходить до зони конденсації зі сторони приміщення:

$$i_6 = \frac{1170 - 452}{10 + 0,375 + 0,625 + 0,426 + 0,281} = 61,331 \text{ мг} / \text{м}^2 \cdot \text{год}.$$

Кількість водяної пари, що виводиться назовні із зони конденсації:

$$i_3 = \frac{452 - 373}{16,364} = 4,828 \text{ мг} / \text{м}^2 \cdot \text{год}.$$

Кількість вологи, що конденсується в конструкції за лютий:

$$W_3 = 672 \cdot (61,331 - 4,828) \cdot 10^{-6} = 0,038 \text{ кг} / \text{м}^2.$$

Взам. інв. №		$i_3 = \frac{452 - 373}{16,364} = 4,828_{мг} / м^2 \cdot год.$					
Підп. і дата		Кількість вологи, що конденсується в конструкції за лютий:					
		$W_3 = 672 \cdot (61,331 - 4,828) \cdot 10^{-6} = 0,038_{кг} / м^2.$					
Інв. №ор.						26 – 4433 – ЕЕ.ПЗ	Лист
	Ізм.	Кіл.уч.	Лист	Нодок.	Підп.		

5. Визначення показників теплостійкості

Визначення показників теплостійкості розраховано у відповідності з вимогами ДСТУ-Н Б В.2.6-190.

Оцінка теплостійкості в літній період

Оцінка теплостійкості зовнішньої стіни

Розрахунок проводиться у відповідності з додатком В.2 ДСТУ-Н Б В.2.6-190.

Об'єкт – зовнішня стіна із залізобетону (тип 1) в кліматичних умовах м. Покров.

Параметри клімату району будівництва наведені в таблиці 5.1.

Таблиця 5.1 Розрахункові параметри клімату м. Покров (47°39' пн. ш.)

Назва параметру	Значення
Середньомісячна температура липня (згідно таблиці 2 ДСТУ-Н Б В. 1.1-27)	21,6
Середня амплітуда добових коливань температури зовнішнього повітря в липні $A_{\text{тв}}, ^\circ\text{C}$ (згідно таблиці 2 ДСТУ-Н Б В. 1.1-27)	10,6
Максимальне значення сумарної сонячної радіації, що приходить на вертикальну поверхню західної орієнтації в липні $/\text{max}, \text{Вт}/\text{м}^2$ (згідно таблиці 16 ДСТУ-Н Б В. 1.1-27)	723
Середнє значення сумарної сонячної радіації, що приходить на вертикальну поверхню в липні $/\text{ср}, \text{Вт}/\text{м}^2$ (згідно таблиці 16 ДСТУ-Н Б В.1.1-27)	178
Мінімальна з середніх швидкостей вітру по румбах за липень, м/с, повторюваність яких складає 16 % та більше v , м/с (згідно таблиці 6 ДСТУ-Н Б В.1.1-27)	4,4

Параметри мікроклімату приміщень наведено в таблиці 5.2

Таблиця 5.2 Розрахункові параметри мікроклімату приміщення

Назва параметру	Значення
Температура внутрішнього повітря $\theta_{\text{int}}, ^\circ\text{C}$ (згідно таблиці Б.2 ДБН В.2.6-31)	20
Вологість внутрішнього повітря $\phi_{\text{int}}, \%$ (згідно таблиці Б.2 ДБН В.2.6-31)	50
Вологісний режим приміщень (згідно таблиці Б.1 ДБН В.2.6-31)	Нормальний

При розрахунках враховуються основні шари конструкції (починаючи з внутрішньої поверхні огорожувальної конструкції), їх теплофізичні характеристики приймаються згідно з додатком А ДСТУ 9191:2022. Теплофізичні характеристики матеріалів шарів конструкції наведено в таблиці 5.3.

Таблиця 5.3 Теплофізичні характеристики матеріалів шарів огорожувальної конструкції

Номер шару	Матеріал	Товщина шару $\delta, \text{м}$	Густина матеріалу в сухому стані $\rho, \text{кг}/\text{м}^3$	Розрахункові характеристики в умовах експлуатації А	
				теплопровідність $\lambda, \text{Вт}/(\text{м}\cdot\text{К})$	коефіцієнт теплозасвоєння $s, \text{Вт}/(\text{м}^2\cdot\text{К})$
1	Залізобетон	0,35	2500	1,92	17,98
2	Клейова суміш на цементній основі	0,01	1800	0,76	9,6

Взам. інв. №	
Підп. і дата	
Інв. №ор.	

Ізм.	Кіл.уч.	Лист	Нодок.	Підп.	Дата

	CERESIT				
3	Утеплювач SWEETONDALE THERMOWOOL FAS OPTIMA 120	0,2	120	0,04	0,59
4	Захисна штукатурка на цементній основі CERESIT	0,005	1800	0,76	9,6
5	Штукатурка декора- тивна CERESIT	0,003	1600	0,676	8,53

Коефіцієнт поглинання сонячної радіації матеріалом зовнішньої поверхні огорожувальної конструкції $\chi = 0,4$ (згідно таблиці Б.1).

Коефіцієнт тепловіддачі внутрішньої поверхні огорожувальної конструкції $h_{si} = 8,7 \text{ Вт}/(\text{м}^2 \cdot \text{К})$ приймається згідно додатка Б ДСТУ 9191:2022.

Визначення теплових опорів шарів огорожувальної конструкції

Теплові опори шарів огорожувальної конструкції розраховуються за формулою (7), що наведена в таблиці 5.4.

Таблиця 5.4 Розрахунок теплових опорів шарів огорожувальної конструкції

Номер шару	Позначення	Значення, $(\text{м}^2\text{К})/\text{Вт}$	Розрахунок
1	R_1	0,182	$R_1 = \frac{\delta_1}{\lambda_1} = \frac{0,35}{1,92} = 0,182$
2	R_2	0,013	$R_2 = \frac{\delta_2}{\lambda_2} = \frac{0,01}{0,76} = 0,013$
3	R_3	5	$R_3 = \frac{\delta_3}{\lambda_3} = \frac{0,2}{0,04} = 5$
4	R_4	0,007	$R_4 = \frac{\delta_4}{\lambda_4} = \frac{0,005}{0,76} = 0,007$
5	R_5	0,004	$R_5 = \frac{\delta_5}{\lambda_5} = \frac{0,003}{0,676} = 0,004$

Визначення теплових інерцій кожного шару та огорожувальної конструкції в цілому.

Розрахунок теплових інерцій кожного шару та огорожувальної конструкції в цілому проводиться за формулами (5) та (6) і наведено в таблиці 5.5.

Таблиця 5.5 Розрахунок теплових інерцій кожного шару та огорожувальної конструкції в цілому

Номер шару	Позначення	Значення	Розрахунок
1	D_1	3,24	$D_1 = R_1 s_1 = 0,182 \cdot 17,98 = 3,24$
2	D_2	0,125	$D_2 = R_2 s_2 = 0,013 \cdot 9,6 = 0,125$

Взам. інв. №	
Підп. і дата	
Інв. №ор.	

Ізм.	Кіл.уч.	Лист	Модок.	Підп.	Дата

3	D_3	2,95	$D_3 = R_3 S_3 = 5 \cdot 0,59 = 2,95$
4	D_4	0,067	$D_4 = R_4 S_4 = 0,007 \cdot 9,6 = 0,067$
5	D_5	0,034	$D_5 = R_5 S_5 = 0,004 \cdot 8,53 = 0,034$
Всієї конструкції	D	6,416	$D = D_1 + D_2 + D_3 + D_4 + D_5 = 3,24 + 0,125 + 2,95 + 0,067 + 0,034 = 6,416$

Так як теплова інерція зовнішньої стіни (тип 1) $D = 6,416$, що більше 4,0, то згідно п.5.8 ДБН В.2.6-31 теплостійкість в літній період дозволяється не перевіряти.

Згідно примітки 2 п. 5.8 ДБН В.2.6-31 теплостійкість в зимній період дозволяється не перевіряти при наявності в будівлі системи опалення з автоматичним регулюванням температури внутрішнього повітря.

Оцінка теплостійкості суміщеного покриття

Об'єкт – суміщене покриття (тип 1) в кліматичних умовах м. Покров.

Параметри клімату району будівництва наведені вище в таблиці 5.1.

Параметри мікроклімату приміщень наведені вище в таблиці 5.2.

При розрахунках враховуються основні шари покриття (починаючи з внутрішньої поверхні покриття), їх теплофізичні характеристики приймаються згідно додатка А ДСТУ 9191:2022. Теплофізичні характеристики матеріалів шарів покриття наведені в таблиці 5.6.

Таблиця 5.6 Теплофізичні характеристики матеріалів шарів покриття

Номер шару	Матеріал	Товщина шару δ , м	Густина матеріалу в сухому стані ρ , кг/м ³	Розрахункові характеристики в умовах експлуатації А	
				теплопровідність λ , Вт/(м·К)	Коефіцієнт теплозасвоєння s , Вт/(м ² ·К)
1	Залізобетон	0,3	2500	1,92	17,98
2	Пароізоляція HYDROBASE ULTRA	0,003	1000	0,17	4,56
3	Стяжка цементно-піщана	0,05-0,15	1600	0,676	8,53
4	Утеплювач SWEETONDALE THERMOWOOL ROOF N EXTRA 100	0,2	100	0,039	0,578
5	Утеплювач SWEETONDALE THERMOWOOL ROOF V EXTRA 170	0,1	170	0,043	0,718
6	ПВХ мембрана SOPREMA FLAGON SR	0,0018	1000	0,23	5,87

Коефіцієнт поглинання сонячної радіації матеріалом зовнішньої поверхні огорожувальної конструкції $\chi = 0,65$ (згідно таблиці Б.1).

Коефіцієнт тепловіддачі внутрішньої поверхні огорожувальної конструкції

Взам. інв. №	
Підп. і дата	
Інв. № ор.	

						26 – 4433 – ЕЕ.ПЗ	Лист
Ізм.	Кіл.уч.	Лист	Нодок.	Підп.	Дата		

ції $h_{si} = 10 \text{ Вт}/(\text{м}^2 \cdot \text{К})$ приймається згідно додатка Б ДСТУ 9191:2022.

Визначення теплових опорів шарів покриття

Теплові опори шарів покриття розраховуються за формулою (7), що наведена в таблиці 5.7.

Таблиця 5.7 Розрахунок теплових опорів шарів покриття

Номер шару	Позначення	Значення, $(\text{м}^2\text{К})/\text{Вт}$	Розрахунок
1	R_1	0,156	$R_1 = \frac{\delta_1}{\lambda_1} = \frac{0,3}{1,92} = 0,156$
2	R_2	0,018	$R_2 = \frac{\delta_2}{\lambda_2} = \frac{0,003}{0,17} = 0,018$
3	R_3	0,074	$R_3 = \frac{\delta_3}{\lambda_3} = \frac{0,05}{0,676} = 0,074$
4	R_4	5,128	$R_4 = \frac{\delta_4}{\lambda_4} = \frac{0,2}{0,039} = 5,128$
5	R_5	2,326	$R_5 = \frac{\delta_5}{\lambda_5} = \frac{0,1}{0,043} = 2,326$
6	R_6	0,009	$R_6 = \frac{\delta_6}{\lambda_6} = \frac{0,0018}{0,23} = 0,009$

Визначення теплових інерцій кожного шару та покриття в цілому

Розрахунок теплових інерцій кожного шару та покриття в цілому проводиться за формулами (5) та (6) і наведено в таблиці 5.8.

Таблиця 5.8 Розрахунок теплових інерцій кожного шару та покриття в цілому

Номер шару	Позначення	Значення	Розрахунок
1	D_1	2,805	$D_1 = R_1 s_1 = 0,156 \cdot 17,98 = 2,805$
2	D_2	0,082	$D_2 = R_2 s_2 = 0,018 \cdot 4,56 = 0,082$
3	D_3	0,631	$D_3 = R_3 s_3 = 0,074 \cdot 8,53 = 0,631$
4	D_4	2,964	$D_4 = R_4 s_4 = 5,128 \cdot 0,578 = 2,964$
5	D_5	1,67	$D_5 = R_5 s_5 = 2,326 \cdot 0,718 = 1,67$
6	D_6	0,053	$D_6 = R_6 s_6 = 0,009 \cdot 5,87 = 0,053$
Всієї конструкції	D	8,205	$D = D_1 + D_2 + D_3 + D_4 + D_5 + D_6 = 2,805 + 0,082 + 0,631 + 2,964 + 1,67 + 0,053 = 8,205$

Так як тепла інерція суміщеного покриття (тип 1) $D = 8,205$, що більше 5,0, то відповідно п. 5.8 ДБН В.2.6-31 теплостійкість в літній період дозволяється не перевіряти.

Взам. інв. №	
Підп. і дата	
Інв. № ор.	

						26 – 4433 – ЕЕ.ПЗ	Лист
Ізм.	Кіл.уч.	Лист	Нодок.	Підп.	Дата		

Визначення теплових інерцій кожного шару підлоги

Розрахунок теплових інерцій кожного шару та огорожувальної конструкції в цілому проводиться за формулами (5) та (6) і наведено в таблиці 5.11.

Таблиця 5.11 Розрахунок теплових інерцій кожного шару підлоги

Номер шару	Позначення	Значення	Розрахунок
1	D_1	0,093	$D_1 = R_1 s_1 = 0,008 \cdot 11,63 = 0,093$
2	D_2	0,067	$D_2 = R_2 s_2 = 0,007 \cdot 9,6 = 0,067$
3	D_3	0,075	$D_3 = R_3 s_3 = 0,011 \cdot 6,8 = 0,075$
4	D_4	0,758	$D_4 = R_4 s_4 = 0,079 \cdot 9,6 = 0,758$
5	D_5	4,274	$D_5 = R_5 s_5 = 3,143 \cdot 1,36 = 4,274$
6	D_6	4,675	$D_6 = R_6 s_6 = 0,26 \cdot 17,98 = 4,675$

Теплова інерція першого шару покриття підлоги $D_1 = 0,093$ р 0,5, а сумарна теплова інерція чотирьох шарів $D_1 + D_2 + D_3 + D_4 = 0,093 + 0,067 + 0,075 + 0,758 = 0,993$ ф 0,5, тому показник теплосасвоєння поверхнею підлоги Y_n визначається за формулами (26) та (27) та складає:

$$Y_3 = \frac{2R_3 s_3^2 + s_4}{0,5 + R_3 s_4} = \frac{2 \cdot 0,011 \cdot 6,8^2 + 9,6}{0,5 + 0,011 \cdot 9,6} = 17,5 \text{ Вт/(м}^2 \cdot \text{К)}$$

$$Y_2 = \frac{4R_2 s_2^2 + Y_3}{1 + R_2 Y_3} = \frac{4 \cdot 0,007 \cdot 9,6^2 + 17,5}{1 + 0,007 \cdot 17,5} = 17,9 \text{ Вт/(м}^2 \cdot \text{К)}$$

$$Y_n = Y_1 = \frac{4R_1 s_1^2 + Y_2}{1 + R_1 Y_2} = \frac{4 \cdot 0,008 \cdot 11,63^2 + 17,9}{1 + 0,008 \cdot 17,9} = 19,4 \text{ Вт/(м}^2 \cdot \text{К)}$$

Значення показника теплосасвоєння поверхнею підлоги для навчальних закладів згідно з умовою (9) п. 5.9 ДБН В.2.6-31 не повинно перевищувати $Y_{\max_n} = 12 \text{ Вт/(м}^2 \cdot \text{К)}$. Розрахунковий показник теплосасвоєння даної конструкції становить $Y_n = 19,4 \text{ Вт/(м}^2 \cdot \text{К)}$.

Дана конструкція підлоги не задовольняє вимоги умови (9) п. 5.9 ДБН В.2.6-31. Конструктивні заходи для забезпечення вказаної умови – замінити цементно-піщану стяжку на стяжку з полістиролбетону ($\rho = 600 \text{ кг/м}^3$).

Тоді, теплова інерція першого шару покриття підлоги $D_1 = 0,093$ р 0,5, а сумарна теплова інерція чотирьох шарів $D_1 + D_2 + D_3 + D_4 = 0,093 + 0,067 + 0,075 + 1,165 = 1,4$ ф 0,5, тому показник теплосасвоєння поверхнею підлоги Y_n визначається за формулами (26) та (27) та складає:

$$Y_3 = \frac{2R_3 s_3^2 + s_4}{0,5 + R_3 s_4} = \frac{2 \cdot 0,011 \cdot 6,8^2 + 2,33}{0,5 + 0,011 \cdot 2,33} = 6,4 \text{ Вт/(м}^2 \cdot \text{К)}$$

Взам. інв. №		<div>марна </div>					
--------------	--	--	--	--	--	--	--

$$Y_2 = \frac{4R_2 s_2^2 + Y_3}{1 + R_2 Y_3} = \frac{4 \cdot 0,007 \cdot 9,6^2 + 6,4}{1 + 0,007 \cdot 6,4} = 8,6 \text{ Вт/(м}^2 \cdot \text{К)}$$

$$Y_n = Y_1 = \frac{4R_1 s_1^2 + Y_2}{1 + R_1 Y_2} = \frac{4 \cdot 0,008 \cdot 11,63^2 + 8,6}{1 + 0,008 \cdot 8,6} = 12 \text{ Вт/(м}^2 \cdot \text{К)}$$

Влаштування полегшеної стяжки з полістиролбетону ($\rho=600\text{кг/м}^3$) зменшило показник теплозасвоєння поверхнею підлоги з 19,4 до 12Вт/(м²·К). Дана конструкція підлоги задовольняє вимоги умови (10) п.6.8 ДБН В.2.6-31, значення показника теплозасвоєння поверхні не перевищує $Y_{\max_n} = 12 \text{ Вт/(м}^2 \cdot \text{К)}$ – нормованого показника теплозасвоєння підлоги для навчальних закладів.

Об'єкт – підлога по ґрунту бетонна із захисним покриттям.

При розрахунках враховуються основні шари конструкції (починаючи з покриття підлоги), їх теплофізичні характеристики приймаються згідно додатка А ДСТУ 9191:2022. Теплофізичні характеристики матеріалів шарів покриття наведено в таблиці 5.12.

Таблиця 5.12 Теплофізичні характеристики конструкції підлоги

Номер шару	Матеріал	Товщина шару δ , м	Густина матеріалу в сухому стані ρ , кг/м ³	Розрахункові характеристики в умовах експлуатації А	
				теплопровідність λ , Вт/(м·К)	коефіцієнт теплозасвоєння s , Вт/(м ² ·К)
1	Бетон	0,08	2500	1,92	17,98
2	Полістиролбетон	0,22	350	0,07	1,36
3	Бетонна основа	0,5	2500	1,92	17,98

Визначення теплових опорів шарів підлоги

Теплові опори шарів підлоги розраховуються за формулою (7), що наведена в таблиці 5.13.

Таблиця 5.13 Розрахунок теплових опорів шарів підлоги

Номер шару	Позначення	Значення, (м ² К)/Вт	Розрахунок
1	R_1	0,042	$R_1 = \frac{\delta_1}{\lambda_1} = \frac{0,08}{1,92} = 0,042$
2	R_2	3,143	$R_2 = \frac{\delta_2}{\lambda_2} = \frac{0,22}{0,07} = 3,143$
3	R_3	0,26	$R_3 = \frac{\delta_3}{\lambda_3} = \frac{0,5}{1,92} = 0,26$

Визначення теплових інерцій кожного шару підлоги

Розрахунок теплових інерцій кожного шару та огорожувальної конструкції в цілому проводиться за формулами (5) та (6) і наведено в таблиці 5.14.

Взам. інв. №	
Підп. і дата	
Інв. №ор.	

						26 – 4433 – ЕЕ.ПЗ	Лист
Ізм.	Кіл.уч.	Лист	Нодок.	Підп.	Дата		

Таблиця 5.14 Розрахунок теплових інерцій кожного шару підлоги

Номер шару	Позначення	Значення	Розрахунок
1	D ₁	0,755	$D_1 = R_1 S_1 = 0,042 \cdot 17,98 = 0,755$
2	D ₂	4,274	$D_2 = R_2 S_2 = 3,143 \cdot 1,36 = 4,274$
3	D ₃	4,675	$D_3 = R_3 S_3 = 0,26 \cdot 17,98 = 4,675$

Теплова інерція першого шару покриття підлоги $D_1 = 0,755 \geq 0,5$, тому показник теплозасвоєння поверхнею підлоги Y_n визначається за формулою (25) та складає:

$$Y_n = 2s_1 = 2 \cdot 17,98 = 36 \text{ BT}/(\text{M}^2 \cdot \text{K})$$

Значення показника теплозасвоєння поверхнею підлоги для навчальних закладів згідно з умовою (9) п. 5.9 ДБН В.2.6-31 не повинно перевищувати $Y_{\max_n} = 12Bm / (m^2 \cdot K)$. Розрахунковий показник теплозасвоєння даної конструкції становить $Y_n = 36Bm / (m^2 \cdot K)$.

Дана конструкція підлоги не задовольняє вимоги умови (9) п. 5.9 ДБН В.2.6-31. Конструктивні заходи для забезпечення вказаної умови – замінити цементно-піщану стяжку на стяжку з полістиролбетону ($\rho=1500\text{кг/м}^3$).

Тоді, теплова інерція першого шару покриття підлоги $D_1 = 1,555 \geq 0,5$, тому показник теплосвоєння поверхнею підлоги Y_n визначається за формулою (25) та складає:

$$Y_n = 2s_1 = 2 \cdot 5,825 = 11,7 \text{ BT}/(\text{M}^2 \cdot \text{K})$$

Влаштування полегшеної стяжки з полістиролбетону ($\rho=1500\text{кг/м}^3$) зменшило показник теплосасвоєння поверхнею підлоги з 36 до $11,7\text{Вт/}(\text{м}^2\cdot\text{К})$. Дана конструкція підлоги задовольняє вимоги умови (10) п.6.8 ДБН В.2.6-31, значення показника теплосасвоєння поверхні не перевищує $Y_{\max_n}=12\text{Вт/}(\text{м}^2\cdot\text{К})$ – нормованого показника теплосасвоєння підлоги для навчальних закладів.

Інв. №ор.	<div> <div>26 – 4433 – ЕЕ.ПЗ</div> <div>Лист</div> </div>											
							Ізм.	Кіл.уч.	Лист	№док.	Підп.	Дата
Взам. інв. №												
Підп. і дата												

Лист

тактує з ґрунтом (залізобетон, гідроізоляційна мембрана).

Коефіцієнт теплопередачі стін, що контактують з ґрунтом визначається за формулою (Б.14). Оскільки $d_w < d_t$, у формулі (Б.14) замінюємо d_t на d_w .

$$U_{bw} = \frac{2\lambda}{\pi z} \left(1 + \frac{0,5d_t}{d_t + z} \right) \ln \left(\frac{z}{d_w} + 1 \right)$$

$$U_{bw} = \frac{2 \cdot 1,5}{3,14 \cdot 2,7} \left(1 + \frac{0,5 \cdot 0,5}{0,5 + 2,7} \right) \ln \left(\frac{2,7}{0,5} + 1 \right) = 0,708 \text{ Bm} / \text{m}^2 \text{K}$$

Приведений опір теплопередачі підлоги по ґрунту розраховується за формулою (Б.17):

$$R_{\Sigma np, g} = \frac{A}{(A \cdot U_{bf} + 0,5P \cdot \Psi_g)} = \frac{1176,37}{(1176,37 \cdot 0,122 + 0,5 \cdot 221,4 \cdot 1,05)} = 4,529 \text{ m}^2 \text{K} / \text{Bm}$$

Приведений опір теплопередачі стін, що контактують з ґрунтом розраховується за формулою (Б.18):

$$R_{\Sigma np, w, g} = \frac{z}{(z \cdot U_{bw} + 0,5 \Psi_g)} = \frac{2,7}{(2,7 \cdot 0,708 + 0,5 \cdot 1,05)} = 1,108 \text{ m}^2 \text{K} / \text{Bm}$$

Розраховуємо характерний розмір перекриття відповідно з формулою (Б.3):

$$B' = \frac{A}{0,5P} = \frac{1162,43}{0,5 \cdot 221,4} = 10,5 \text{ м}$$

Визначаємо еквівалентну товщину перекриття відповідно з формулою (Б.4):

$$d_t = w + \lambda (R_{si} + R_f + R_{se}) = 0,4015 + 1,5(0,1 + 0,226 + 0,043) = 0,955 \text{ м},$$

де $\lambda = 1,5 \text{ Bm} / (\text{м} \cdot \text{K})$ – теплопровідність ґрунту відповідно таблиці Б.1;

$w = 0,4015 \text{ м}$ – загальна товщина зовнішньої стіни;

$R_{si} = 0,1 (\text{м}^2 \cdot \text{K}) / \text{Bm}$ – опір теплопередачі внутрішньої поверхні відповідно таблиці Б.2;

$R_{se} = 0,043 (\text{м}^2 \cdot \text{K}) / \text{Bm}$ – опір теплопередачі зовнішньої поверхні відповідно таблиці Б.2;

$R_f = \frac{0,4}{2,04} + \frac{0,0015}{0,5} + \frac{0,05}{1,86} = 0,226 (\text{м}^2 \cdot \text{K}) / \text{Bm}$ – опір теплопередачі перекриття, що контактує з ґрунтом (залізобетон, гідроізоляційна мембрана, стяжка бетонна).

Взам. інв. №	
Підп. і дата	
Інв. № ор.	

Ізм.	Кіл.уч.	Лист	Нодок.	Підп.	Дата

Оскільки $d_t + 0,5z < B'$ коефіцієнт теплопередачі перекриття визначається за формулою (Б.12):

$$U_{bf} = \frac{2\lambda}{\pi B' + d_t + 0,5z} \ln \left(\frac{\pi B'}{d_t + 0,5z} + 1 \right)$$

$$U_{bf} = \frac{2 \cdot 1,5}{3,14 \cdot 10,5 + 0,955 + 0,5 \cdot 2,5} \ln \left(\frac{3,14 \cdot 10,5}{0,955 + 0,5 \cdot 2,5} + 1 \right) = 0,199 Bm / m^2 K$$

Визначаємо еквівалентну сумарну товщину стін, що контактують з ґрунтом, відповідно з формулою (Б.15):

$$d_w = \lambda (R_{si} + R_w + R_{se}) = 1,5 (0,115 + 1,564 + 0,043) = 2,583 m,$$

де $\lambda = 1,5 Bm / (m \cdot K)$ – теплопровідність ґрунту відповідно таблиці Б.1;

$R_{si} = 0,115 (m^2 \cdot K) / Bm$ – опір теплопередачі внутрішньої поверхні відповідно таблиці Б.2;

$R_{se} = 0,043 (m^2 \cdot K) / Bm$ – опір теплопередачі зовнішньої поверхні відповідно таблиці Б.2;

$R_w = \frac{0,35}{2,04} + \frac{0,0015}{0,5} + \frac{0,05}{0,036} = 1,564 (m^2 \cdot K) / Bm$ – опір теплопередачі стіни, що контактує з ґрунтом (залізобетон, гідроізоляційна мембрана, екструдований пінополістирол).

Коефіцієнт теплопередачі стін, що контактують з ґрунтом визначається згідно з формулою (Б.14):

$$U_{bw} = \frac{2\lambda}{\pi z} \left(1 + \frac{0,5d_t}{d_t + z} \right) \ln \left(\frac{z}{d_w} + 1 \right)$$

$$U_{bw} = \frac{2 \cdot 1,5}{3,14 \cdot 2,5} \left(1 + \frac{0,5 \cdot 0,955}{0,955 + 2,5} \right) \ln \left(\frac{2,5}{2,583} + 1 \right) = 0,294 Bm / m^2 K$$

Приведений опір теплопередачі перекриття, що контактує з ґрунтом розраховується за формулою (Б.17):

$$R_{\Sigma np, g} = \frac{A}{(A \cdot U_{bf} + 0,5 P \cdot \Psi_g)} = \frac{1162,43}{(1162,43 \cdot 0,199 + 0,5 \cdot 221,4 \cdot 1,05)} = 3,345 m^2 K / Bm$$

Приведений опір теплопередачі стін, що контактують з ґрунтом розраховується за формулою (Б.18):

$$R_{\Sigma np, w, g} = \frac{z}{(z \cdot U_{bw} + 0,5 \Psi_g)} = \frac{2,5}{(2,5 \cdot 0,294 + 0,5 \cdot 1,05)} = 1,984 m^2 K / Bm$$

Взам. інв. №		Приведений опір теплопередачі стін, що контактують з ґрунтом розраховується за формулою (Б.18):							
Підп. і дата		$R_{\Sigma np, w, g} = \frac{z}{(z \cdot U_{bw} + 0,5 \Psi_g)} = \frac{2,5}{(2,5 \cdot 0,294 + 0,5 \cdot 1,05)} = 1,984 m^2 K / Bm$							
Інв. № ор.								26 – 4433 – ЕЕ.ПЗ	Лист
		Ізм.	Кіл.уч.	Лист	№док.	Підп.	Дата		

Стационарний узагальнений коефіцієнт теплопередачі трансмісією до ґрунту Вт/К , розраховується за формулою (Б.16):

$$H_g = A \cdot U_{bf} + z \cdot P \cdot U_{bw} + P \cdot \psi_g$$

$$H_g = 1176,37 \cdot 0,122 + 2,7 \cdot 221,4 \cdot 0,708 + 221,4 \cdot 1,05 = 799,215 Bm / K$$

$$H_g = 1162,43 \cdot 0,199 + 2,5 \cdot 27,74 \cdot 0,294 + 221,4 \cdot 1,05 = 484,183 Bm / K$$

Коефіцієнти теплопередачі трансмісією через некондиціоновані об'єми не визначаються через відсутність таких об'ємів.

Вплив теплопровідних включень визначено згідно з ДСТУ 9191:2022.

Таблиця 6.2 Характеристики теплопередачі трансмісією

П.п.	Вид огороджувальної конструкції	A_i , м ²	$R_{\Sigma пр}$, м ² К/Вт	U , Вт/(м ² К)	ΔU_{tb} , Вт/(м ² К)	$b_{tr,x,H}$	$b_{tr,x,C}$	$H_{x,H}$, Вт/К	$H_{x,C}$, Вт/К
1	Зовнішні стіни	102,38	4,494	0,223	0,1	1	1	33,069	33,069
2	Суміщене покриття	64,48	7,007	0,143	0,1	1	1	15,669	15,669
3	Зовнішні двері	7,14	0,7	1,429	-	1	1	10,203	10,203

$$H_{tr,adj,H} = H_D + H_g + H_U + H_A = 799,215 + 484,183 + 33,069 + 15,669 + 10,203 = 1342,339 Bm / K$$

$$H_{tr,adj,C} = H_D + H_g + H_U + H_A = 799,215 + 484,183 + 33,069 + 15,669 + 10,203 = 1342,339 Bm / K$$

Сумарна теплопередача трансмісією розрахована за формулами (9) та (10) для кожного місяця та наведена в таблиці 6.5 для режиму опалення та в таблиці 6.6. для режиму охолодження.

Характеристики теплопередачі вентиляцією

Система вентиляції будівлі – з механічним спонуканням. Для розрахунку прийнято, що система вентиляції будівлі відповідає вимогам ДБН В.2.5-67 та передбачає наявність засобів для регулювання за необхідності в системах механічної загальнообмінної вентиляції.

Витрата повітря механічних систем прийнята згідно проєктних даних розділу ОВ та складає:

- ПБ1: $q_{ve,H} = q_{ve,C} = 3450 \text{ м}^3 / \text{год}$;
- ПБ2: $q_{ve,H} = q_{ve,C} = 3560 \text{ м}^3 / \text{год}$.

Усереднена за часом витрата повітря розрахована за формулами (29) та (30) для періодів опалення та охолодження:

- $$\begin{aligned} -\text{ПВ1: } q_{ve,mn,H} &= q_{ve,mn,C} = q_{ve,H} t_{ve,H} / 168 = 3450 \cdot 50 / 168 = 1027 \text{ м}^3 / \text{год}; \\ -\text{ПВ5: } q_{ve,mn,H} &= q_{ve,mn,C} = q_{ve,H} t_{ve,H} / 168 = 3560 \cdot 50 / 168 = 1060 \text{ м}^3 / \text{год}. \end{aligned}$$

Припливно-витяжні установки комплектуються рекуператорами. Температурний поправочний коефіцієнт b_{ve} , що коригує коефіцієнт теплопередачі, визначено за формулами (46) та (47) з урахуванням формули (48) та становить 0,5 (за п. 9.2.4.1 розбірний пластинчатий теплообмінник, $\eta_{hru}=0,5$).

Інв. № ор.

Підп. І дата

Взам. інв. №

Ізм.

Кіл.уч.

Лист

№док.

Підп.

Дата

26 – 4433 – ЕЕ.ПЗ

Лист

– ПВ1: $q_{ve,mn,H} = q_{ve,mn,C} = q_{ve,H} t_{ve,H} / 168 = 3450 \cdot 50 / 168 = 1027 \text{ м}^3 / \text{год} ;$

– ПВ5: $q_{ve,mn,H} = q_{ve,mn,C} = q_{ve,H} t_{ve,H} / 168 = 3560 \cdot 50 / 168 = 1060 \text{ м}^3 / \text{год} .$

Припливно-витяжні установки комплектуються рекуператорами. Температурний поправочний коефіцієнт b_{ve} , що коригує коефіцієнт теплопередачі, визначено за формулами (46) та (47) з урахуванням формули (48) та становить 0,5 (за п. 9.2.4.1 розбірний пластинчатий теплообмінник, $\eta_{hru}=0,5$).

Кратність повітрообміну за рахунок інфільтрації розраховано за формулами (33) та (34) для періодів опалення та охолодження:

$$\eta_{\text{inf},H} = \frac{\Sigma q_{\text{inf},m,H}}{V_{\text{ve}} v_v} = \frac{14,45 + 4,31}{3731,26 \cdot 0,85} = 0,00620 \text{ } ^\circ\text{C}^{-1}$$

$$\eta_{\text{inf},C} = \frac{\Sigma q_{\text{inf},m,C}}{V_{\text{ve}} v_v} = \frac{9,94 + 3,56}{3731,26 \cdot 0,85} = 0,00420 \text{ } ^\circ\text{C}^{-1}$$

Усереднена за часом витрата повітря за рахунок інфільтрації розрахована за формулами (31) та (32) для періодів опалення та охолодження:

$$q_{\text{inf},mn,H} = \eta_{\text{inf},H} V_{\text{ve}} v_v t_{\text{inf},H} / 168 = 0,006 \cdot 3731,26 \cdot 0,85 \cdot (168 - 50) / 168 = 16 \text{ м}^3 / \text{год}$$

$$q_{\text{inf},mn,C} = \eta_{\text{inf},C} V_{\text{ve}} v_v t_{\text{inf},C} / 168 = 0,004 \cdot 3731,26 \cdot 0,85 \cdot (168 - 50) / 168 = 9 \text{ м}^3 / \text{год}$$

Системи ПВ1 та ПВ2 оснащені нагрівачами та охолоджувачами для попереднього підігріву та охолодження.

Значення коефіцієнта теплопередачі вентиляцією з попереднім підігріванням та охолодженням, розраховано за формулами (54) та (58) для періодів опалення та охолодження:

$$H_{\text{ve},\text{pre-heat}} = \rho_a c_a q_{\text{ve},H} b_{\text{ve},H} = 0,336 \cdot (3450 + 3560) \cdot 0,5 = 1177,68 \text{ Вт} / \text{К}$$

$$H_{\text{ve},\text{pre-cool}} = \rho_a c_a q_{\text{ve},C} b_{\text{ve},C} = 0,336 \cdot (3450 + 3560) \cdot 0,5 = 1177,68 \text{ Вт} / \text{К}$$

Загальний коефіцієнт теплопередачі вентиляцією, розраховано за формулами (27) та (28) для періодів опалення та охолодження:

$$H_{\text{ve},\text{adj},H} = \rho_a c_a (q_{\text{ve},mn,H} b_{\text{ve},H} + q_{\text{inf},mn,H}) = 0,336 ((1027 + 1060) \cdot 0,5 + 16) = 355,992 \text{ Вт} / \text{К}$$

$$H_{\text{ve},\text{adj},C} = \rho_a c_a (q_{\text{ve},mn,C} b_{\text{ve},C} + q_{\text{inf},mn,C}) = 0,336 ((1027 + 1060) \cdot 0,5 + 9) = 353,64 \text{ Вт} / \text{К}$$

Сумарна теплопередача вентиляцією розрахована за формулами (25) та (26) для кожного місяця та наведена в таблиці 6.6 для режиму опалення та 6.7 для режиму охолодження.

Характеристики внутрішніх теплонадходжень

Згідно з методикою даного стандарту до уваги прийняті теплонадходження (внутрішній тепловий потік від людей, внутрішній тепловий потік від обладнання, внутрішній тепловий потік від освітлення), значення яких прийняті згідно з таблицею 6 і їхня загальна сумарна величина усередненого теплового потоку становить:

$$\Phi_{\text{int}} = \Phi_{\text{int},Oc} + \Phi_{\text{int},L} + \Phi_{\text{int},A} = 7 + 7 + 3 = 17 \text{ Вт} / \text{м}^2$$

Взам. інв. №		<div style="text-align: center;"> 26 – 4433 – ЕЕ.ПЗ </div>					Лист
Підп. і дата							
Інв. № ор.							
Ізм.	Кіл.уч.	Лист	Нодок.	Підп.	Дата		

						26 – 4433 – ЕЕ.ПЗ	Лист
Ізм.	Кіл.уч.	Лист	№док.	Підп.	Дата		

Травень	0	27	42	19	15
Червень	0	29	46	18	15
Липень	0	29	45	19	15
Серпень	0	27	39	19	15
Вересень	0	22	29	18	15
Жовтень	0	15	16	19	15
Листопад	0	7	7	18	15
Грудень	0	5	5	19	15

Теплонадходження від сонця до будівлі розраховані за формулою (56) та наведені в таблиці 6.5.

Таблиця 6.5 Кліматичні дані та характеристики внутрішніх і сонячних теплонадходжень

Місяць року	Параметр								
	θ_e ,	t ,	$I_{sol, Пн}$,	$I_{sol, По}$,	$I_{sol, З}$,	$I_{sol, Сх}$,	$I_{sol, зоп}$,	Q_{sol} ,	Q_{int} ,
	$^{\circ}C$	год	Bm / M^2	Bm / M^2	Bm / M^2	Bm / M^2	Bm / M^2	$\kappa Bm \cdot год$	$\kappa Bm \cdot год$
Січень	-4,7	744	13	50	25	21	33	-20	4317
Лютий	-3,8	672	23	72	38	36	63	-9	4168
Березень	1,1	744	31	91	61	57	108	4	4466
Квітень	9,6	720	40	99	78	81	159	18	4317
Травень	16	744	55	102	101	108	221	36	4168
Червень	19,6	720	67	98	112	119	247	42	4168
Липень	21,6	744	61	101	111	116	236	40	1340
Серпень	20,7	744	44	111	96	108	204	32	2828
Вересень	15,4	720	29	122	76	81	154	18	4466
Жовтень	8,6	744	18	95	44	46	84	-3	4466
Листопад	2,2	720	10	49	20	20	37	-19	4466
Грудень	-2,5	744	9	36	15	15	24	-24	4466

Динамічні параметри

Сумарна теплопередача та теплові надходження розраховані за формулами (7) та (8) і наведені в таблиці 6.6 для режиму опалення та 6.7 для режиму охолодження.

Часова константа будівлі характеризує внутрішню теплову інерцію будівлі. Будівля має клас «дуже важкий», згідно з таблицею 15 внутрішня теплоємність будівлі на одиницю площі становить: $C = 110 \text{ Вт} \cdot \text{год} / (\text{м}^2 \text{ К})$.

Внутрішня теплоємність будівлі розрахована за формулою (82) і становить:

$$C_m = 110 \cdot 1225,88 = 134847 \text{ Bm} \cdot \text{zod} / K$$

Часова константа будівлі розраховується за формулами (79) та (80) і становить:

— для режиму опалення:

Внутрішня теплоємність будівлі розрахована за формулою (82) і становить:

$$C_m = 110 \cdot 1225,88 = 134847 \text{ Вт} \cdot \text{год} / \text{K}$$

Часова константа будівлі розраховується за формулами (79) та (80) і становить:

– для режиму опалення:

$$\tau = \frac{C_m}{H_{tr,adj} + H_{ve,adj}} = \frac{134847}{1342,339 + 355,992} = 79,4 \text{ год}$$

– для режиму охолодження:

$$\tau = \frac{C_m}{H_{tr,adj} + H_{ve,adj}} = \frac{134847}{1342,339 + 353,64} = 79,51 \text{ год}$$

Безрозмірний коефіцієнт використання надходжень для опалення $\eta_{H,gn}$ та охолодження $\eta_{C,gn}$ розрахований для кожного місяця за формулами (67)-(71) та (73)-(77) на основі співвідношення надходжень та втрат теплоти γ_H та γ_C , і числового параметру α_H та α_C і наведений у таблицях 6.6 та 6.7.

Безрозмірний числовий параметр a_H для режиму опалення визначається за формулою (72) і становить:

$$a_H = \alpha_{H,O} + \frac{\tau}{\tau_{H,O}} = 1 + \frac{79,4}{15} = 6,293$$

Безрозмірний числовий параметр a_C для режиму охолодження визначається за формулою (78) і становить:

$$a_C = \alpha_{C,O} + \frac{\tau}{\tau_{H,O}} = 1 + \frac{79,51}{15} = 6,301$$

Внутрішні умови

Задана температура для опалення будівлі прийнята згідно з таблицею 16 і становить: $\theta_{int,H,set} = 20^\circ\text{C}$.

Задана температура для охолодження будівлі прийнята згідно з таблицею 16 і становить: $\theta_{int,C,set} = 26^\circ\text{C}$.

Енергоспоживання для опалення

Енергопотребы для опалення розраховані для кожного місяця за формулою (3) та наведені в таблиці 6.6. Енергопотребы для охолодження розраховані для кожного місяця за формулою (5) та наведені в таблиці 6.7. Значення в таблицях наведені з урахуванням примітки до п. 14.1.

Річні енергопотребы для опалення та охолодження будівлі розраховуються за формулою (89). Результати розрахунків за річний період наведені в таблиці 6.10.

Взам. інв. №		наведені з урахуванням примітки до п. 14.1.							
Підп. і дата		Річні енергопотреби для опалення та охолодження будівлі розраховуються за формулою (89). Результати розрахунків за річний період наведені в таблиці 6.10.							
Інв. №ор.								26 – 4433 – ЕЕ.ПЗ	Лист
		Ізм.	Кіл.уч.	Лист	№док.	Підп.	Дата		

Таблиця 6.6 Розрахунок енергопотреб для опалення

Місяць року	Параметр									
	Q_{tr} , кВт · год	Q_{ve} , кВт · год	Q_{ht} , кВт · год	Q_{sol} , кВт · год	Q_{int} , кВт · год	Q_{gn} , кВт · год	$Q_{ve, pre, heat}$, кВт · год	γ_H	$\eta_{H, gn}$	$Q_{H, nd}$, кВт · год
Січень	24668	6542	31210	-20	4317	4297	4240	0,14	1,00	22673
Лютий	21469	5694	27162	-9	4168	4159	3913	0,15	1,00	19090
Березень	18875	5006	23881	4	4466	4470	3294	0,19	1,00	16117
Квітень	10051	2666	12717	18	4317	4335	1653	0,34	1,00	6732
Травень	3995	1059	5054	36	4168	4204	0	0,83	0,93	0
Червень	387	103	489	42	4168	4210	0	8,61	0,12	0
Липень	-1598	-424	-2022	40	1340	1380	0	-0,68	-1,47	0
Серпень	-699	-185	-884	32	2828	2860	0	-3,23	-0,31	0
Вересень	4446	1179	5625	18	4466	4483	0	0,80	0,94	0
Жовтень	11385	3019	14405	-3	4466	4463	2014	0,31	1,00	7930
Листопад	17203	4562	21766	-19	4466	4447	3145	0,20	1,00	14174
Грудень	22471	5959	28430	-24	4466	4442	3996	0,16	1,00	19992
Всього										106709

Таблиця 6.7 Розрахунок енергопотреб для охолодження

Місяць року	Параметр									
	Q_{tr} , кВт · год	Q_{ve} , кВт · год	Q_{ht} , кВт · год	Q_{sol} , кВт · год	Q_{int} , кВт · год	Q_{gn} , кВт · год	$Q_{ve, pre, cool}$, кВт · год	γ_C	$\eta_{C, ls}$	$Q_{C, nd}$, кВт · год
Січень	30660	8077	38738	-22	4317	4295	0	0,11	0,11	0
Лютий	26881	7082	33963	-12	4168	4156	0	0,12	0,12	0
Березень	24868	6551	31419	0	4466	4466	0	0,14	0,14	0
Квітень	15850	4176	20026	13	4317	4330	0	0,22	0,22	0
Травень	9987	2631	12618	31	4168	4199	0	0,33	0,33	3
Червень	6185	1630	7815	37	4168	4205	0	0,54	0,53	40
Липень	4394	1158	5552	36	1340	1375	12	0,25	0,25	0
Серпень	5293	1394	6688	27	2828	2855	6	0,43	0,43	2
Вересень	10245	2699	12944	12	4466	4478	0	0,35	0,35	4
Жовтень	17377	4578	21955	-8	4466	4458	0	0,20	0,20	0
Листопад	23002	6060	29062	-21	4466	4444	0	0,15	0,15	0
Грудень	28463	7499	35962	-26	4466	4440	0	0,12	0,12	0
Всього										48

Тривалість опалювального періоду та періоду охолодження для діяльності сезонозалежних технічних засобів

Тривалість опалювального періоду визначена за таблицею 2 ДСТУ-Н Б В.1.1-27:2010 та складає 172 доби або 4128 години (без урахування останнього дня у квітні).

Тривалість періоду охолодження визначена згідно з 15.3.4 на основі даних таблиці А.6 додатка А для м. Покров становить 1137 годин.

Загальне енергоспоживання при опаленні підсистеми тепловіддачі/виділення

Система опалення електрична. Як опалювальні прилади прийняті електричні конвектори. Опалювальні прилади встановлюються біля зовнішніх стін.

Загальні тепловтрати підсистеми тепловіддачі/виділення визначаються для кожного місяця за формулою (79) та наведені в таблиці 6.8, при цьому:

Взам. інв. №											Лист
Підп. І дата											
Інв. № ор.											
		Ізм.	Кіл.уч.	Лист	Модок.	Підп.	Дата				

$$f_{im} = 0,97 - \text{згідно 15.4.2.5;}$$

$$f_{rad} = 1 - \text{згідно 15.4.2.5;}$$

$\eta_{em} = 0,91$ – згідно з таблицею 20.

У відповідності п. 15.4.3.4 додаткова енергія підсистеми тепловіддачі/виділення в розрахунках не враховується.

Енергію входу, що необхідна для підсистеми тепловіддачі/виділення розраховується для кожного місяця за формулою (111). Результати розрахунків наведені в таблиці 6.8.

Загальне енергоспоживання підсистеми розподілення під час опалення

Енергію входу, яка необхідна для підсистеми розподілення, розраховують для кожного місяця за формулою (118). Результати розрахунків наведені в таблиці 6.8.

Таблиця 6.8 Розрахунок енергоспоживання під час опалення

Місяць року	Параметр					
	$Q_{H,nd}$, кВт·год	$Q_{H,em,ls}$, кВт·год	$Q_{H,em,in} = Q_{H,dis,out}$, кВт·год	$Q_{H,dis,in} = Q_{H,gen,out}$, кВт·год	$Q_{H,gen,ls}$, кВт·год	$Q_{H,use}$, кВт·год
Січень	22673	24169	27507	27507	278	27784
Лютий	19090	20350	23160	23160	234	23394
Березень	16117	17181	19554	19554	198	19751
Квітень	6732	7177	8172	8172	83	8255
Травень	0	0	0	0	0	0
Червень	0	0	0	0	0	0
Липень	0	0	0	0	0	0
Серпень	0	0	0	0	0	0
Вересень	0	0	0	0	0	0
Жовтень	7930	8453	9623	9623	97	9721
Листопад	14174	15110	17197	17197	174	17370
Грудень	19992	21312	24255	24255	245	24500
Всього	106709					130775

Загальне енергоспоживання під час центрального попереднього підігрівання

Загальна енергія виходу з підсистеми виробництва/генерування під час центрального попереднього підігрівання припливного повітря, $kВт \cdot год$, розраховується за формулою (125).

$$Q_{V,pre-heat,gen,out} = \frac{(\sum Q_{ve,pre-heat,m})}{n_{V,pre-heat,sys}} = \frac{4240+3913+3294+1653+2014+1745+3996}{1} = 22255 \text{ kJm} \cdot \text{год}.$$

Річне енергоспоживання під час попереднього підігрівання, $kWh \cdot год$, розраховується за формулою (126).

$$Q_{V,pre-heat,gen,out} = \frac{\left(\sum Q_{ve,pre-heat,m} \right)}{\eta_{V,pre-heat,sys}} =$$

$$= \frac{4240 + 3913 + 3294 + 1653 + 2014 + 1745 + 3996}{1} = 22255 \text{ кВт} \cdot \text{год}.$$

Річне енергоспоживання під час попереднього підігрівання, $\text{кВт} \cdot \text{год}$, розраховується за формулою (126).

$$Q_{V,pre-heat,use} = \frac{Q_{V,pre-heat,gen,out}}{\eta_{V,pre-heat,gen}} = \frac{22255}{0,99} = 22480 \text{ кВт} \cdot \text{год}.$$

Загальне енергоспоживання підсистеми виробництва/генерування теплоти під час опалення

Згідно з формулою (119) загальна енергія виходу з підсистеми виробництва/генерування дорівнює енергії входу в підсистему розподілу.

Тепловтрати підсистеми виробництва/генерування тепла визначаються для кожного місяця за формулою (120) та наведені в таблиці 6.8. При цьому коефіцієнт ефективності підсистеми виробництва/генерування теплоти прийнятий згідно з таблицею 26 для випадку опалення електричними конвекторами, $\eta_{H,gen} = 0,99$.

Загальне енергоспоживання під час опалення

Загальне енергоспоживання при опаленні визначено для кожного місяця за формулою (121) та наведено в таблиці 6.8.

Річне енергоспоживання під час опалення будівлі розраховано за формулою (122) та наведено в таблиці 6.8.

Питоме енергоспоживання будівлі під час опалення складає $41,073 \text{ кВт} \cdot \text{год} / \text{м}^3$.

Результати на річній основі наведені в таблицях 6.10 та В.4.

Додаткова енергія для опалення

Річна кількість додаткової енергії для опалення визначена за формулою (124).

Результати на річній основі наведені в таблиці 6.10.

Загальне енергоспоживання при охолодженні

В якості системи охолодження робочим проектом передбачені секційні охолоджувачі у складі вентиляційних систем.

Для ефективності автоматичного управління/регулювання ($\eta_{C,ac}$) приймається значення 0,99 та значення 2,25 для показника ефективності підсистеми виробництва/генерування ($\eta_{C,gen}$).

Енергію виходу з підсистеми виробництва/генерування та акумулювання розраховують за формулою (134):

$$Q_{C,gen,out} = \frac{Q_{C,dis,in}}{\eta_{C,ac}} = \frac{48}{0,99} = 48,5 \text{ кВт} \cdot \text{год}.$$

Загальні тепловтрати підсистеми виробництва/генерування та акумулювання розраховуються за формулою (135).

Взам. інв. №		$Q_{C,gen,out} = \frac{Q_{C,dis,in}}{\eta_{C,ac}} = \frac{48}{0,99} = 48,5 кВт \cdot год.$						
Підп. І дата		Загальні тепловтрати підсистеми виробництва/генерування та акумулювання розраховуються за формулою (135).						
Інв. № ор.							26 – 4433 – ЕЕ.ПЗ	Лист
		Ізм.	Кіл.уч.	Лист	Нодок.	Підп.	Дата	

$$Q_{C,gen,ls} = \frac{Q_{C,gen,out}(1-\eta_{C,gen})}{\eta_{C,gen}} = \frac{48,5(1-2,25)}{2,25} = -27 \text{ кВт} \cdot \text{год}.$$

Енергоспоживання під час охолодження розраховано за формулою (136):

$$Q_{C,use} = Q_{C,gen,out} + Q_{C,gen,ls} = 48,5 - 27 = 21,5 \text{ кВт} \cdot \text{год}.$$

Загальне енергоспоживання під час центрального попереднього охолодження

Загальна енергія виходу з підсистеми виробництва/генерування під час центрального попереднього охолодження припливного повітря, $\text{кВт} \cdot \text{год}$, розраховується за формулою (138).

$$Q_{V,pre-cool,gen,out} = \frac{(\sum Q_{ve,pre-cool,m})}{\eta_{V,pre-cool,sys}} = \frac{0+0+12+6+0}{0,85} = 21 \text{ кВт} \cdot \text{год}.$$

Річне енергоспоживання під час попереднього охолодження, $\text{кВт} \cdot \text{год}$, розраховується за формулою (139).

$$Q_{V,pre-cool,use} = \frac{Q_{V,pre-cool,gen,out}}{\eta_{V,pre-cool,gen}} = \frac{21}{2,25} = 9 \text{ кВт} \cdot \text{год}.$$

Питоме енергоспоживання будівлі при охолодженні складає $0,008 \text{ кВт} \cdot \text{год} / \text{м}^3$.

Результати на річній основі наведені в таблицях 6.10 та В.4.

Загальне енергоспоживання систем вентиляції

Система вентиляції будівлі припливно-витяжна з механічним спонуканням. Проектом передбачено декілька систем вентиляції: припливно-витяжна – з блоком рекуперації нагріванням та охолодженням до заданої температури; витяжна.

Засобів для зволоження або осушення припливного повітря в системі вентиляції не передбачено.

Електрична потужність вентиляторів прийнята згідно проєктних даних та складає:

- для припливно-витяжної вентиляції $P_{el,H} = 12,75 \text{ кВт}$;
- для витяжної вентиляції $P_{el,H} = 0,547 \text{ кВт}$.

Енергоспоживання вентиляторів розраховується за формулою (142) з урахуванням часу роботи системи вентиляції, яке згідно графіка використання будівлі становить 50 годин на тиждень.

Взам. інв. №		<p>Електрична потужність вентиляторів прийнята згідно проєктних даних та складає:</p> <ul style="list-style-type: none">– для припливно-витяжної вентиляції $P_{el,H} = 12,75 кВт$;– для витяжної вентиляції $P_{el,H} = 0,547 кВт$. <p>Енергоспоживання вентиляторами розраховується за формулою (142) з урахуванням часу роботи системи вентиляції, яке згідно графіка використання будівлі становить 50 годин на тиждень.</p>							
Підп. і дата									
Інв. № ор.								26 – 4433 – ЕЕ.ПЗ	Лист
		Ізм.	Кіл.уч.	Лист	Нодок.	Підп.	Дата		

$$Q_{V,use} = Q_{V,use,fan} = P_{el,H} \cdot t_{V,H} + P_{el,C} \cdot t_{V,C}$$

$$Q_{V,use} = Q_{V,use,fan} = 12,75 \cdot 8760 \cdot \frac{50}{168} = 33241 \text{кВт}$$

$$Q_{V,use} = Q_{V,use,fan} = 0,547 \cdot 8760 \cdot \frac{50}{168} = 1426 \text{кВт}$$

Питоме енергоспоживання систем вентиляції будівлі складає 9,291кВт·год/м³.

Результати на річній основі наведені в таблицях 6.10 та В.4.

Енергоспоживання при освітленні

Енергія, необхідна для штучного освітлення розраховується за формулою (157) з урахуванням даних таблиці 35:

$$Q_{WL} = \frac{(P_N \cdot F_C) [(t_D \cdot F_o \cdot F_D) + (t_N \cdot F_o)] A_f}{1000} =$$

$$= \frac{(5,538 \cdot 1) \left[\left(1800 \cdot 1 \cdot 1 \cdot \frac{50}{168} \right) + \left(200 \cdot 1 \cdot \frac{50}{168} \right) \right] 1225,88}{1000} = 4041,025 \text{кВт} \cdot \text{год}$$

Паразитна енергія, необхідна для забезпечення заряду акумуляторів світильників аварійного освітлення та енергія для управління/регулювання освітленням в будівлі розраховується за формулою (158) з урахуванням даних таблиці 35:

$$Q_{WP} = P_{em} \cdot A_{em} + P_{pc} \cdot A_{pc} =$$

$$= (1+5) 1225,88 \cdot \frac{50}{168} = 2189,071 \text{кВт} \cdot \text{год}$$

Річний обсяг енергоспоживання будівлі під час освітлення розраховується за формулою (156):

$$Q_{Wuse} = Q_{WL} + Q_{WP} = 4041,025 + 2189,071 = 6230,096 \text{кВт} \cdot \text{год}$$

Питоме енергоспоживання під час освітлення складає 1,67кВт·год/м³.

Результати на річній основі наведені в таблицях 6.10 та В.4.

Енергопотребі ГВП

Питомі річні енергопотребі ГВП прийняті згідно з таблицею 33 та складають для дошкільних навчальних закладів 15кВт·год/м².

Загальні енергопотребі ГВП становлять:

$$Q_{DHW,nd} = 15 \text{кВт} \cdot \text{год} / \text{м}^2 \cdot A_f = 15 \cdot 1225,88 = 18388,2 \text{кВт} \cdot \text{год}$$

Взам. інв. №		Енергопотреби ГВП Питомі річні енергопотреби ГВП прийняті згідно з таблицею 33 та складають для дошкільних навчальних закладів 15кВт·год/м². Загальні енергопотреби ГВП становлять:							
Підп. і дата		$Q_{DHW,nd} = 15кВт \cdot год / м^2 \cdot A_f = 15 \cdot 1225,88 = 18388,2кВт \cdot год$							
Інв. №ор.								26 – 4433 – ЕЕ.ПЗ	Лист
		Ізм.	Кіл.уч.	Лист	Модок.	Підп.	Дата		

Результати на річній основі наведені в таблицях 6.10 та В.4.

Енергоспоживання ГВП

В розрахунку прийнято, що система ГВП будівлі передбачена від електричних водонагрівачів. Температура води в системі ГВП прийнята 55°C. Циркуляційні контури відсутні.

Річні тепловтрати в підсистемі розподілення постачання гарячої води розраховуються за формулою (147) та становлять:

$$Q_{W,dis,ls} = \frac{\sum \psi_{W,j} \cdot L_{W,j} \cdot (\theta_{W,dis,avg,j} - \theta_{amb,j}) \cdot t_W}{1000} =$$

$$= \frac{0,4 \cdot 38,5 \cdot (55 - 20) \cdot 1229 + 0,4 \cdot 38,5 \cdot (55 - 26) \cdot 1379}{1000} = 1278,292 \text{ кВт} \cdot \text{год}$$

Тепловтрати використаної води під час водорозбору розраховуються за формулою (151), з урахуванням таблиці 34, та становлять:

$$Q_{W,em,ls} = Q_{DHW,nd} \cdot \eta_{eq} / 100 = 18388,2 \cdot 10 / 100 = 1838,82 \text{ кВт} \cdot \text{год}$$

Річний обсяг енергоспоживання системи ГВП розраховується за формулою (154) та становить:

$$Q_{DHW,use} = \frac{Q_{DHW,nd} + Q_{W,em,ls} + Q_{W,dis,ls}}{\eta_{gen}} =$$

$$= \frac{18388,2 + 1838,82 + 1278,292}{0,94} = 22877,991 \text{ кВт} \cdot \text{год}$$

Питоме енергоспоживання будівлі при ГВП складає 6,131 кВт·год/м³.
Результати на річній основі наведені в таблицях 6.10 та В.4.

Енергоспоживання під час опалення та охолодження

Сумарне річне енергоспоживання під час опалення та охолодження без урахування додаткової енергії становить:

$$Q_{H,use} + Q_{C,use} = 153255 + 30,5 = 153285,5 \text{ кВт} \cdot \text{год}$$

Питоме енергоспоживання будівлі під час опалення та охолодження складає 41,081 кВт·год/м³.

Сумарне енергоспоживання під час опалення, охолодження, вентиляції, гарячого водопостачання та освітлення

Сумарне енергоспоживання під час опалення, охолодження, вентиляції, гарячого водопостачання та освітлення з урахуванням додаткової енергії становить:

Взам. інв. №		Питоме енергоспоживання будівлі під час опалення та охолодження складає 41,081кВт·год/м³.						
Підп. І дата		Сумарне енергоспоживання під час опалення, охолодження, вентиляції, гарячого водопостачання та освітлення						
Інв. №ор.		Сумарне енергоспоживання під час опалення, охолодження, вентиляції, гарячого водопостачання та освітлення з урахуванням додаткової енергії становить:						
							26 – 4433 – ЕЕ.ПЗ	Лист
		Ізм.	Кіл.уч.	Лист	№док.	Підп.	Дата	

$K_{\text{exp},i}$ – коефіцієнт викидів CO_2 для експортованого i -го енергоносія, г/кВт·год.

$$m_{\text{CO}_2} = (153255 + 30,5 + 34667 + 22877,991 + 6230,096) \cdot 420 / 1000 = 91165,447 \text{ кг}$$

Питомий показник викидів парникових газів розраховується за формулою (50) Наказу № 169 від 11.07.2018р:

$$M_{\text{CO}_2} = \frac{m_{\text{CO}_2}}{A_f}, \text{ кг} / \text{ м}^2$$

$$M_{\text{CO}_2} = \frac{91165,447}{1225,88} = 74,367 \text{ кг} / \text{ м}^2$$

Результати на річній основі наведені в таблиці В.4.

Таблиця 6.10 Звіт за результатами розрахунків

Енергетичні послуги	Енергоспоживання	Енергоносії								
		Теплота	Нафта	Природний газ	Вугілля	Централізоване теплопостачання	Централізоване холодопостачання	Деревина	Електроенергія	Відновлювальні*
Опалення	Енергопотреба для опалення	106709								
	Енергопотреба для центрального попереднього підігрівання вентиляційного повітря	0								
	Енергоспоживання під час опалення					0			130775	0
	Енергоспоживання під час центрального попереднього підігрівання					0			22480	0
	Додаткове енергоспоживання під час опалення								0	
	Додаткове енерго-								0	

Інв. №ор.	Підп. І дата	Взам. інв. №

Ізм.	Кіл.уч.	Лист	Модок.	Підп.	Дата

	споживання під час центрального попереднього підігрівання										
	Загальне енергоспоживання під час опалення				0			153255	0		
Охолодження	Енергопотреба для охолодження (зокрема осушення повітря)	48									
	Енергопотреба для центрального попереднього охолодження вентиляційного повітря (зокрема осушення повітря)	0									
	Енергоспоживання під час охолодження (зокрема осушення повітря)				0			21,5			
	Енергоспоживання під час центрального попереднього охолодження (зокрема осушення повітря під час попереднього охолодження)				0			0			
	Додаткове енергоспоживання під час охолодження							0			
	Додаткове енергоспоживання під час центрального попереднього охолодження							9			
	Загальне енергоспоживання під час охолодження				0			30,5			
Вентиляція	Енергопотреба для зволоження вентиляційного повітря	0									
	Енергоспоживання вентиляторів, блоків управління та рекуператорів теплоти							34667			
	Загальне енергоспоживання під час вентиляції (зокрема зволоження повітря)							34667			
ГВП	Енергопотреба ГВП	18388,2									
	Енергоспоживання ГВП				0			22877,991			
	Додаткове енергоспоживання ГВП							0			

Інв. №ор.	Підп. І дата	Взам. інв. №

Ізм.	Кіл.уч.	Лист	№док.	Підп.	Дата

	Загальне енерго- споживання ГВП					0			22877,991		
Освітлення	Енергоспоживання при освітленні								6230,096		
Інші послуги	Енергоспоживання іншими послугами								0		
Загалом		125145,2	-	-	-	-		-	217060,587	-	-

Взам. інв. №	
Підп. і дата	
Інв. №ор.	

Ізм.	Кіл.уч.	Лист	№док.	Підп.	Дата

7. Визначення класу енергетичної ефективності будівлі

Клас енергетичної ефективності для даного типу будівлі (споруди) не визначається.

Визначення часу ефективної експлуатації теплоізоляційної оболонки будівлі та його елементів

Період ефективної експлуатації теплоізоляційної оболонки будівлі та його елементів складає не менше 25 років згідно ДБН В.1.2-2.

Взам. інв. №								
Підп. і дата								
Інв. №ор.							26 – 4433 – ЕЕ.ПЗ	
		Ізм.	Кіл.уч.	Лист	№док.	Підп.	Дата	Лист

8. Зведені характеристики будівлі

В.1 Загальні характеристики

Призначення будівлі (відповідно до таблиці 1 Методики [2])	-
Призначення будівлі (згідно з ДСТУ Б А.2.2-12)	ПРУ при дошкільному навчальному закладі
Загальна площа, м ²	1270
Загальний об'єм, м ³	4050,5
Кондиціонована (опалювана) площа, м ²	1225,88
Кондиціонований (опалюваний) об'єм, м ³	3731,26
Об'єм для вентиляції, м ³	3171,57
Кількість поверхів	1 підземний поверх
Рік введення в експлуатацію	Нове будівництво. Проект
Тип зовнішніх огорожувальних конструкцій	Будівля із залізобетонними стінами, перекриттями та підлогами
Температурна зона	I
Архітектурно-будівельний кліматичний район	II – Південно-східний
Вологісний режим приміщень	Нормальний
Тип ґрунту	Категорія 2
Тип місцевості	-
Середня висота приміщення, м	2,7
Внутрішня теплоємність, Вт·год/(м ² ·К)	110
Наявність приміщень з різним функціональним призначенням у будівлі, їх характеристики (за зонами):	
- кондиціонована (опалювана) площа, м ²	-
- кондиціонований (опалюваний) об'єм, м ³	-
- об'єм для вентиляції, м ³	-
Показник компактності будівлі, м ⁻¹	0,87
Кількість під'їздів або входів	2
Графік опалення, год/тиждень	168
Графік охолодження, год/тиждень	168
Задана температура зони будівлі для опалення, °С	20
Задана температура зони будівлі для охолодження, °С	26
Температура чергового режиму опалення, °С	-
Температура чергового режиму охолодження, °С	-

В.2 Теплотехнічні характеристики

Вид огорожувальної конструкції теплоізоляційної оболонки	Приведений опір теплопередачі огорожувальної конструкції, (м ² ·К)/Вт		Площа А, м ²
	значення	мінімальні вимоги	
Зовнішні стіни, з них:	х	х	-
- що межують із зовнішнім повітрям	4,494	4,0	102,38
- що межують із некондиціонованим об'ємом	-	х	-
- що межують із суміжними будівлями	-	х	-
Покриття, з них:	х	х	-
- суміщені	7,007	7,0	64,48
- опалюваних горищ	-	6,0	-
- технічних поверхів	-	6,0	-
- мансард	-	6,0	-
Перекриття, з них:	х	х	-
- неопалюваних горищ	-	6,0	-
- над проїздами та під еркерами	-	5,0	-
- над неопалюваними підвалами	-	5,0	-
Конструкції, що межують з ґрунтом:	х	х	-
- підлоги по ґрунту	4,529	х	1176,37
- стіни цокольного поверху	1,108;	х	590,22;

Взам. інв. №	
Підп. і дата	
Інв. №ор.	

Ізм.	Кіл.уч.	Лист	Нодок.	Підп.	Дата

	1,984		134,38
- перекриття над техпідпіллям	-	x	-
- перекриття, що контактує з ґрунтом	3,345	x	1162,43
Світлопрозорі огорожувальні конструкції, з них:	x	x	-
- вікна	-	0,9	-
- вікна і балконні двері	-	0,9	-
- вітражі	-	0,9	-
- світлопрозорі фасади	-	0,9	-
- світлопрозорі зовнішні двері	-	0,9	-
- в місцях загального користування*	-	0,9	-
Зенітні ліхтарі	-	0,8	-
Зовнішні двері	0,7	0,7	7,14
*Для багатоквартирних житлових будинків			

В.3 Характеристики інженерних систем

Система опалення

Клас енергетичної ефективності системи АМУБ згідно ДСТУ EN 15232-1 – С.

Тип та опис системи (джерело енергії, теплоносій, розведення трубопроводів):
– система опалення приміщень побудована на базі електричних конвекторів.

Регулювання температури у системі: –

Регулювання витрати у системі: –

Циркуляція теплоносія у системі: –

Тип опалювальних приладів:

– електричні конвектори;

Регулювання температури приміщення: – місцеве ручне регулювання терморегуляторами на опалювальних приладах приміщення.

Гідравлічне налагоджування (балансування) системи: –

Теплова ізоляція трубопроводів в неопалюваних приміщеннях –

Облік споживання теплової енергії – передбачено загальний облік електроенергії.

Система гарячого водопостачання

Клас ефективності системи АМУБ згідно ДСТУ EN 15232-1 – С.

Тип та опис системи (джерело енергії, розведення трубопроводів, забезпечення циркуляцією) – система ГВП без циркуляції, виконана від проточних електричних нагрівачів.

Циркуляція теплоносія у системі – без циркуляції.

Регулювання витрати у системі – ручне.

Гідравлічне налагоджування (балансування) системи – не передбачено.

Облік споживання гарячої води – не передбачено.

Система охолодження

Клас ефективності системи АМУБ згідно ДСТУ EN 15232-1

Тип та опис системи (джерело енергії, теплоносій, розведення трубопроводів) – джерелом холоду являються секційні охолоджувачі у складі вентиляційних систем ПВ 1 та ПВ 2.

Регулювання температури у системі – програмоване регулювання.

Регулювання витрати у системі – автоматичне регулювання витрати в системі.

Циркуляція теплоносія у системі –

Тип приладів тепловіддачі – вентиляційна система.

Регулювання температури приміщення – за допомогою програматорів.

Гідравлічне налагоджування (балансування) системи –

Теплова ізоляція трубопроводів – не передбачено.

Облік споживання енергії системами охолодження – передбачено загальний облік електричної енергії.

Система вентиляції та кондиціонування

Клас ефективності системи АМУБ згідно ДСТУ EN 15232-1 – С.

Тип та опис систем – вентиляція будівлі припливна та припливно-витяжна з механічним спонуканням, виконана окремими системами; витяжна – виконана окремими системами.

Утилізація теплоти повітря, що видаляється – припливно-витяжні установки оснащені рекуператорами.

Попередній підігрів припливного повітря – передбачено нагрів припливного повітря до заданої темпера-

Взам. інв. №	
Підп. і дата	
Інв. № ор.	

Ізм.	Кіл.уч.	Лист	Нодок.	Підп.	Дата

тури.
Попереднє охолодження припливного повітря – не передбачено.
Зволоження та осушення припливного повітря – не передбачено.
Регулювання температури повітря у системі – автоматичне програмоване регулювання за розкладом; якісне регулювання залежно від погодних умов.
Регулювання витрати повітря у системі – автоматичне програмоване регулювання.
Регулювання температури повітря у приміщеннях – автоматичне програмоване регулювання за розкладом; якісне регулювання залежно від погодних умов.
Регулювання витрати повітря у приміщеннях – автоматичне програмоване регулювання.
Облік споживання енергії системами (електрична, тепла) – передбачено загальний облік електроенергії.
Системи освітлення
Клас ефективності системи АМУБ згідно ДСТУ EN 15232-1 – D.
Тип та опис системи (зони будівлі з різними параметрами, прилади освітлення, питома встановлена потужність освітлення) – система освітлення побудована на базі світлодіодних світильників різної конфігурації та потужності. Питома потужність – 5,538кВт/м ² .
Регулювання систем (рівень освітленості, період використання) – не передбачено.
Аварійне освітлення – передбачені світильники світлодіодні, акумуляторні. Час роботи – до 3-х годин.
Облік споживання електричної енергії – передбачено загальний облік електроенергії.
Технічне управління будівлею
Клас ефективності системи АМУБ згідно ДСТУ EN 15232-1 – D.

В.4 Енергетичні характеристики

Показник	Одиниця виміру	Значення	Мінімальні вимоги
Річне сумарне споживання енергії, в т.ч.:	тис. кВт·год	217,061	
	кВт·год/м ² [кВт·год/м ³]	[58,173]	
Річне енергоспоживання систем опалення	тис. кВт·год	153,255	
	кВт·год/м ² [кВт·год/м ³]	[41,073]	
Річне енергоспоживання систем гарячого водопостачання	тис. кВт·год	22,878	
	кВт·год/м ² [кВт·год/м ³]	[6,131]	
Річне енергоспоживання систем охолодження	тис. кВт·год	0,0305	
	кВт·год/м ² [кВт·год/м ³]	[0,008]	
Річне енергоспоживання систем вентиляції	тис. кВт·год	34,667	
	кВт·год/м ² [кВт·год/м ³]	[9,291]	
Річне енергоспоживання систем освітлення	тис. кВт·год	6,23	
	кВт·год/м ² [кВт·год/м ³]	[1,67]	
Річна сумарна енергопотреба, в т.ч.:	тис. кВт·год	125,145	
	кВт·год/м ² [кВт·год/м ³]	[33,54]	
- в опаленні	тис. кВт·год	106,709	
	кВт·год/м ² [кВт·год/м ³]	[28,599]	
- в охолодженні	тис. кВт·год	0,048	
	кВт·год/м ² [кВт·год/м ³]	[0,013]	
- в гарячому водопостачанні	тис. кВт·год	18,388	
	кВт·год/м ² [кВт·год/м ³]	[4,928]	
Річне споживання первинної енергії	тис. кВт·год	542,651	

Взам. інв. №	
Підп. і дата	
Інв. №ор.	



Ізм.	Кіл.уч.	Лист	Нодок.	Підп.	Дата

	кВт·год/м ² [кВт·год/м ³]	442,663	
Річні викиди парникових газів	т	91,165	
	кг/м ² [кг/м ³]	74,367	
Загальний показник питомого енергоспоживання при опаленні та охолодженні	кВт·год/м ² [кВт·год/м ³]	[41,081]	-
Клас енергетичної ефективності при опаленні та охолодженні		Не визначається	
Висновки за результатами оцінки енергетичних показників будівлі	Проект відповідає вимогам ДБН В.2.6-31 до теплотехнічних та енергетичних показників огорожувальних конструкцій будівлі та порядку їх розрахунку, що забезпечує: - раціональне використання енергетичних ресурсів на обігрів приміщень будівлі; - нормативні показники санітарно-гігієнічних параметрів мікроклімату приміщень; - довговічність огорожувальних конструкцій під час експлуатації будівлі.		
Рекомендації щодо підвищення енергетичної ефективності будівлі	Доопрацювання не потребує.		

Інв. №ор.	Підп. І дата	Взам. інв. №

Ізм.	Кіл.уч.	Лист	Нодок.	Підп.	Дата

Додаток 1

	Державне підприємство „Державний науково-дослідний інститут будівельних конструкцій” (ДП НДІБК) 03037, м. Київ-37, вул. Преображенська, 5/2 Відділ будівельної фізики та енергоефективності	 20167 ДСТУ ISO/IEC 17025
Рівень документа ПРОТОКОЛ ВИПРОБУВАНЬ		Позначення ПРВ-217-8645.22-112к.23
		Стор. 1 Всього 16
		Дата 21.09.2023

ЗАТВЕРДЖУЮ
В.о. завідувача відділу
будівельної фізики та
енергоефективності ДП НДІБК
к.т.н. **ІГОР АНДРІЙ ПОСТОЛЕНКО**

21 вересня 2023 р.

ПРОТОКОЛ № 112к/23
кваліфікаційних випробувань
з визначення терміну ефективної експлуатації до 50 умовних років
теплоізоляційних матеріалів з мінеральної вати марки
«THERMOWOOL FAS OPTIMA 120»
виробництва ТОВ «Завод теплоізоляційних матеріалів «ТЕХНО»

Виконавець: Відділ будівельної фізики та енергоефективності ДП НДІБК,
атестат про акредитацію № 20167 від 28.05.2021р.,
виданий Національним агентством з акредитації України
(м. Київ-37, вул. Преображенська, 5/2, ДП НДІБК)



Замовник: ТОВ «Завод теплоізоляційних матеріалів «ТЕХНО»
вул. Різдвяна, буд. 300, м. Черкаси, 18018
Договір № 8645 від «29» грудня 2022 р.
Перевидано 04.06.2024 згідно до договору №9150 від 18.04.2024 р.

Київ 2023

НЯ-217-07Ф4_ред01_19.08.2019

Взам. інв. №	
Підп. і дата	
Інв. №ор.	

Ізм.	Кіл.уч.	Лист	№док.	Підп.	Дата

	Державне підприємство „Державний науково-дослідний інститут будівельних конструкцій” (ДП НДІБК) 03037, м. Київ-37, вул. Преображенська, 5/2 Відділ будівельної фізики та енергоефективності		20167
			ДСТУ ISO/IEC 17025
Рівень документа		Позначення	
ПРОТОКОЛ ВИПРОБУВАНЬ		ПРВ-217-8645.22-112к.23	
		Стор. 16	Дата
		Всього 16	21.09.2023

Таблиця 7 – Результати визначення теплопровідності в розрахункових умовах експлуатації

Матеріал	Теплопровідність в умовах експлуатації, Вт/(м·К)	
	А	Б
THERMOWOOL FAS OPTIMA 120	0,040	0,042

12. Висновки.

Термін ефективної експлуатації плит теплоізоляційних з мінеральної вати марки «THERMOWOOL FAS OPTIMA 120» виробництва ТОВ «Завод теплоізоляційних матеріалів «ТЕХНО» становить не менше ніж 50 умовних років.

Старший науковий співробітник



Андрій ПОСТОЛЕНКО

Старший науковий співробітник, Ph.D.



Дмитро БІДА

Протокол випробувань стосується тільки зразків, підданих випробуванням.
Цей протокол не можна повністю або частково відтворювати, тиражувати і розповсюджувати.
Протокол складається з шістнадцяти сторінок.

НЯ-217-07Ф4_ред01_19.08.2019

Інв. №ор.	Взам. інв. №
Підп. І дата	

Ізм.	Кіл.уч.	Лист	№док.	Підп.	Дата

26 – 4433 – ЕЕ.ПЗ

Лист

Додаток 2

	Державне підприємство „Державний науково-дослідний Інститут будівельних конструкцій” (ДП НДІБК) 03037, м. Київ-37, вул. Преображенська, 5/2 Відділ будівельної фізики та енергоефективності	
Рівень документа ПРОТОКОЛ ВИПРОБУВАНЬ		Позначення ПРВ-217-8645.22-11к.24
		Стор. 1 Всього 14
		Дата 15.02.2024

ЗАТВЕРДЖУЮ
В.о. заступника відділу
будівельної фізики та
енергоефективності ДП НДІБК
К.І.Н. **Андрій ПОСТОЛЕНКО**
Ідентифікаційний код 02495431
15 лютого 2024 р.

ПРОТОКОЛ № 11к/24
кваліфікаційних випробувань
з визначення терміну ефективної експлуатації до 50 умовних років теплоізоляційних матеріалів з мінеральної вати марки «THERMOWOOL ROOF N EXTRA 100» виробництва ТОВ «Завод теплоізоляційних матеріалів «ТЕХНО»

Виконавець: Відділ будівельної фізики та енергоефективності ДП НДІБК, акредитований Національним агентством з акредитації України на випробування відповідно до ДСТУ EN ISO/IEC 17025:2019, атестат акредитації № 20167 чинний до 26.01.2029 (м.Київ-37, вул. Преображенська, 5/2, ДП НДІБК)



Замовник: ТОВ «Завод теплоізоляційних матеріалів «ТЕХНО» вул. Різдва, буд. 300, м. Черкаси, 18018 № 8645 від «29» грудня 2022 р. Перевидано 04.06.2024 згідно до договору №9150 від 18.04.2024 р.

Київ 2024

НЯ-217-07Ф4_ред01_19.08.2019

Взам. інв. №	
Підп. і дата	
Інв. №ор.	

Ізм.	Кіл.уч.	Лист	№док.	Підп.	Дата

	Державне підприємство „Державний науково-дослідний Інститут будівельних конструкцій” (ДП НДІБК) 03037, м. Київ-37, вул. Преображенська, 5/2 Відділ будівельної фізики та енергоефективності	 20167 Випробування
Рівень документа ПРОТОКОЛ ВИПРОБУВАНЬ		Позначення ПРВ-217-8645.22-11к.24
		Стор. 14 Всього 14
		Дата 15.02.2024

Таблиця 6 – Результати визначення теплопровідності в розрахункових умовах експлуатації

Матеріал	Теплопровідність в умовах експлуатації, Вт/(м·К)	
	А	Б
THERMOWOOL ROOF N EXTRA 100	0,039	0,041

12. Висновок.

Термін ефективної експлуатації плит теплоізоляційних з мінеральної вати марки «THERMOWOOL ROOF N EXTRA 100» виробництва ТОВ «Завод теплоізоляційних матеріалів «ТЕХНО» становить не менше ніж 50 умовних років.

Старший науковий співробітник, Ph.D.



Дмитро БІДА



Протокол випробувань стосується тільки зразків, підданих випробуванням.
Цей протокол не можна повністю або частково відтворювати, тиражувати і розповсюджувати.
Протокол складається з чотирнадцяти сторінок.
Перевидано 06.06.2024 згідно до договору №9150 від 18.04.2024 р.

НЯ-217-07Ф4_ред01_19.08.2019

Взам. інв. №	
Підп. і дата	
Інв. №ор.	

Ізм.	Кіл.уч.	Лист	№док.	Підп.	Дата

Додаток 3

	Державне підприємство „Державний науково-дослідний інститут будівельних конструкцій” (ДП НДІБК) 03037, м. Київ-37, вул. Преображенська, 5/2 Відділ будівельної фізики та енергоефективності	 20167 ДСТУ ISO/IEC 17025
Рівень документа ПРОТОКОЛ ВИПРОБУВАНЬ		Позначення ПРВ-217-8645.22-111к.23
		Стор. 1 Всього 13
		Дата 21.09.2023

ЗАТВЕРДЖУЮ
В.о. заступника відділу
будівельної фізики та
енергоефективності ДП НДІБК
К. П. ПОСТОЛЕНКО
21 вересня 2023 р.

ПРОТОКОЛ № 111к/23

кваліфікаційних випробувань
з визначення терміну ефективної експлуатації до 50 умовних років
теплоізоляційних матеріалів з мінеральної вати
марки «THERMOWOOL ROOF V EXTRA 170»
виробництва ТОВ «Завод теплоізоляційних матеріалів «ТЕХНО»

Виконавець: Відділ будівельної фізики та енергоефективності ДП НДІБК,
атестат про акредитацію № 20167 від 28.05.2021р.,
виданий Національним агентством з акредитації України
(м. Київ-37, вул. Преображенська, 5/2, ДП НДІБК)



Замовник: ТОВ «Завод теплоізоляційних матеріалів «ТЕХНО»
вул. Різдва, буд. 300, м. Чсркаси, 18018
Договір № 8645 від «29» грудня 2022 р.
Перевидано 04.06.2024 згідно до договору №9150 від 18.04.2024 р.

Київ 2023

НЯ-217-07Ф4_ред01_19 08 2019

Взам. інв. №	
Підп. і дата	
Інв. №ор.	

Ізм.	Кіл.уч.	Лист	№док.	Підп.	Дата

	Державне підприємство „Державний науково-дослідний інститут будівельних конструкцій” (ДП НДІБК) 03037, м. Київ-37, вул. Преображенська, 5/2 Відділ будівельної фізики та енергоефективності	 20167 ДСТУ ISO/IEC 17025
Рівень документа ПРОТОКОЛ ВИПРОБУВАНЬ		Позначення ПРВ-217-8645.22-111к.23
		Стор. 13 Всього 13
		Дата 21.09.2023

Тоді, за формулою (6) та (7), з урахуванням впливу кліматичної деструкції матеріалу (k_k) та якості будівельно-монтажних робіт (k_M) на зміну теплопровідності матеріалу, визначається теплопровідність у умовах експлуатації A та B .

$$\lambda_A = \lambda_{10}(w_A) \cdot k_k \cdot k_M + \sigma = 0,0381 \cdot 1,0 \cdot 1,124 + 0,0002 = 0,043 \frac{\text{Вт}}{\text{м} \cdot \text{К}};$$

$$\lambda_B = \lambda_{10}(w_B) \cdot k_k \cdot k_M + \sigma = 0,0402 \cdot 1,0 \cdot 1,124 + 0,0002 = 0,045 \frac{\text{Вт}}{\text{м} \cdot \text{К}}.$$

Результати визначення теплопровідності в розрахункових умовах експлуатації наведені в таблиці 6.

Таблиця 6 – Результати визначення теплопровідності в розрахункових умовах експлуатації

Матеріал	Теплопровідність в умовах експлуатації, Вт/(м·К)	
	А	Б
THERMOWOOL ROOF V EXTRA 170	0,043	0,045

12 Висновки.

Термін ефективної експлуатації плит теплоізоляційних з мінеральної вати марки «THERMOWOOL ROOF V EXTRA 170» виробництва ТОВ «Завод теплоізоляційних матеріалів «Техно» становить не менше ніж 50 умовних років.

Старший науковий співробітник



Андрій ПОСТОЛЕНКО

Старший науковий співробітник, Ph.D.



Дмитро БІДА

Протокол випробувань стосується тільки зразків, підданих випробуванням.
Цей протокол не можна повністю або частково відтворювати, тиражувати і розповсюджувати.
Протокол складається з тринадцяти сторінок.
Перевидано 04.06.2024 згідно до договору №9150 від 18.04.2024 р.

Інв. №ор.	Підп. і дата	Взам. інв. №							26 – 4433 – ЕЕ.ПЗ	Лист
			Ізм.	Кіл.уч.	Лист	Нодок.	Підп.	Дата		

Додаток 4



**ВСЕУКРАЇНСЬКА ГРОМАДСЬКА ОРГАНІЗАЦІЯ
«ГІЛЬДІЯ ПРОЕКТУВАЛЬНИКІВ У БУДІВНИЦТВІ»
САМОРЕГУЛІВНА ОРГАНІЗАЦІЯ У СФЕРІ АРХІТЕКТУРНОЇ ДІЯЛЬНОСТІ
АТЕСТАЦІЙНА АРХІТЕКТУРНО-БУДІВЕЛЬНА КОМІСІЯ**

Серія **АР** № **018270**

КВАЛІФІКАЦІЙНИЙ СЕРТИФІКАТ
відповідального виконавця окремих видів робіт (послуг),
пов'язаних зі створенням об'єктів архітектури

інженер-проектувальник
(найменування професії)

Виданий про те, що Вовк Ірина Володимирівна
(прізвище, ім'я, по батькові)

пройшов(ла) професійну атестацію, що підтверджує його (її) відповідність кваліфікаційним вимогам у сфері діяльності, пов'язаної із створенням об'єктів архітектури, професійну спеціалізацію, необхідний рівень кваліфікації і знань.

Категорія: провідний інженер-проектувальник.

Кваліфікаційний сертифікат видано згідно з рішенням Атестаційної архітектурно-будівельної комісії (далі - Комісія) від 23.12.2021 № 72
(рішенням ----- секції Комісії
від ----- № -----, затвердженим президією
Комісії -----).

Зареєстрований у реєстрі атестованих осіб 01.06 2013 року
за № 6904.

Роботи (послуги), пов'язані із створенням об'єктів архітектури, спроможність виконання яких визначено кваліфікаційним сертифікатом: інженерно-будівельне проектування у частині забезпечення економії енергії
щодо об'єктів будівництва класу наслідків (відповідальності) СС3 (значні
наслідки)

Дата видачі 23.12 2021 року

Голова (заступник голови) Атестаційної архітектурно-будівельної комісії Папка В.В.
(підпис) (прізвище, ім'я, по батькові)



Взам. інв. №	
Підп. і дата	
Інв. № ор.	

Ізм.	Кіл.уч.	Лист	Нодок.	Підп.	Дата

26 – 4433 – ЕЕ.ПЗ

Лист